



SAVONIA

Siltojen kunnonvalvonta

Ville Pyykölä

Opinnäytetyö

Koulutusala Tekniikan ja liikenteen ala	
Koulutusohjelma Elektroniikan koulutusohjelma	
Työn tekijä(t) Ville Pyykölä	
Työn nimi Siltojen kunnonvalvonta	
Päiväys 10.1.2013	Sivumäärä/Liitteet 70+40
Ohjaaja(t) pt. tuntiopettaja Seppo Karjalainen	
Toimeksiantaja/Yhteistyökumppani(t) Savonia-ammattikorkeakoulu	
<p>Tiivistelmä</p> <p>Opinnäytetyön tarkoituksena oli toteuttaa laitteisto, jolla voitaisiin mitata voimaa ja värähtelyä sekä lähettää mitattu data langattomasti tietokoneelle. Lisäksi tarkoituksena oli tutustua siltojen kunnonvalvontajärjestelmiin. Työ tehtiin Savonia-ammattikorkeakoululle Kuopioon.</p> <p>Siltojen kunnonvalvontaan liittyen toteutettiin mittausjärjestelmä, jossa on mukana datankeräysominaisuus. Mittausjärjestelmää varten opiskeltiin venymäliuskojen ja kiihtyvyyssanturin käyttö. Venymäliuskoilla mitataan voimaa ja kiihtyvyyssanturilla värähtelyä. Työssä käytettiin venymäliuskamittauksissa Acam Picostrain PS081 -venymäliuskakontrolleria. Värähtelymittauksessa sekä langattomassa datan siirrossa käytettiin Texas Instrumentsin MSP430-mikrokontrolleria. Molempien mikrokontrollerien käyttö ja ohjelmointi opiskeltiin ja otettiin käyttöön tarvittavat ohjelmistot. Datankeräysjärjestelmää varten tehtiin sovellus, joka kerää mitattua dataa tietokoneelle.</p> <p>Lopputuloksena saatiin toimiva laite, joka mittaa värähtelyä ja lähettää datan langattomasti tietokoneelle.</p>	
Avainsanat voiman mittaus, värähtelyn mittaus	
Julkinen	

Field of Study Technology, Communication and Transport			
Degree Programme Degree Programme in Electronic Engineering			
Author(s) Ville Pyykölä			
Title of Thesis Condition Monitoring System for Bridges			
Date	10 January 2013	Pages/Appendices	70+40
Supervisor(s) Mr. Seppo Karjalainen, Full Time Teacher			
Client Organisation/Partners Savonia University Of Applied Sciences			
<p>Abstract</p> <p>The aim of this thesis was to build a system that could measure force and vibration and send the measured data wirelessly. In addition, the purpose was to get acquainted with bridge condition monitoring systems. The thesis was done for Savonia University of Applied Sciences, School of Engineering and Technology.</p> <p>The use of strain gauges and accelerometer was studied for the measuring system. The strain gauge measures the force and the accelerometer measures vibration. The Acam Picostrain PS081 microcontroller was used in strain gauge measurements. Texas Instrument MSP430 microcontroller was used in vibration measurements and wireless data transmission. The programming and use of the both microcontrollers was studied. After that necessary programs were made. A program, which collects measured data to the computer, was made for the data collection system.</p> <p>The result of this thesis was a working system which measures vibration and sends measured data wirelessly to the computer.</p>			
Keywords force measurement, vibration measurement			
Public			

ALKUSANAT

Tein opinnäytetyönäni järjestelmän, jolla pystyi mittaamaan voimaa ja värähtelyä. Lisäksi työhön kuului tutustuminen siltojen kunnonvalvontajärjestelmiin. Mittausjärjestelmä tehtiin siltojen kunnonvalvontaa varten. Työ tehtiin vuoden 2012 helmikuun ja syyskuun välisenä aikana. Työssä opin paljon sulautettujen järjestelmien ohjelmointia sekä erilaisten antureiden käyttöä. Tulevaisuutta ajatellen työ oli minulle tärkeä, koska elektroniikka-alalla ohjelmoinnin ja anturitekniikan osaaminen on hyvin tärkeää.

Kiitän opinnäytetyön ohjaajaa Seppo Karjalaista kaikesta avusta.

SISÄLTÖ

LYHENTEET JA KÄSITTEET	9
1 JOHDANTO	11
2 SILTOJEN KUNNONVALVONTA	12
2.1 Sensorityypit	12
2.2 Tehonsyöttö	12
2.3 Datan keräys, siirto ja käsittely	13
2.4 Sillanvalvonnan esimerkkikohteita	13
2.4.1 Millau Viaduct	13
2.4.2 Rio-Antirio	14
3 VOIMAN MITTAUS VENYMÄLIUSKOILLA	15
3.1 Venymäliuska	15
3.2 Venymäliuskan valmistus ja rakenne	16
3.3 Venymäliuskan liimaus	17
3.4 Wheatstonen silta	18
3.5 Signaalin vahvistaminen	19
3.6 Mittaus venymäliuskoilla	20
4 VÄRÄHTELYN MITTAUS KIIHTYVYYSANTURILLA	21
4.1 Kiihtyvyyssanturi yleisesti	21
4.2 Piezosähköisen kiihtyvyyssanturin toimintaperiaate	21
4.3 Piezoresistiivisen kiihtyvyyssanturin toimintaperiaate	21
4.4 Kapasitiivisen kiihtyvyyssanturin toimintaperiaate	22
4.5 Kiihtyvyyssanturin valmistus	22
4.6 Kiihtyvyyssanturin signaalin käsittely	23
4.7 Värähtelyn mittaus	23
5 LANGATON DATANSIIRTO	24
6 ENERGIAHARVESTERIT	25
7 DB_PS081-EVA-KIT	26
7.1 Acam Picostrain PS081 -siltavahvistinprosessori	27
7.1.1 RAM, ROM ja EEPROM	27
7.1.2 Konfiguraatiorekisterit (Configuration Registers)	28
7.1.3 Venymäliuskaratkaisut	28
7.2 Muita ominaisuuksia	29
7.2.1 Kuormakondensaattori	29

7.2.2	Kellojakso.....	29
7.2.3	Tilat ja ajoitukset	29
7.2.4	Jälkikäsittely	30
7.2.5	Oskillaattori	30
7.2.6	LCD-näyttö	30
7.3	Liitännät.....	31
8	PICOSTRAIN PS081 -OHJELMOINTI.....	32
8.1	Konfiguraatiorekisterin ohjelmointi.....	33
8.2	SPI-väylän ohjelmointi.....	34
8.3	Mittausohjelma	35
8.4	Mittausohjelman rakenne.....	35
9	MSP430-MIKROKONTROLLERI	36
10	WLAN-MODUULI CC3000 TIWI-SL	38
11	MSP430FR5739-OHJELMOINTI.....	39
11.1	I/O-porttien ohjelmointi	39
11.2	SPI-väylän ohjelmointi	40
11.2.1	Neljän ja kolmen pinnin isäntätila	40
11.2.2	Neljän pinnin orjatila	41
11.2.3	SPI-väylän alustus	41
11.3	SPI-väylän lähetys ja vastaanotto	42
11.4	AD-muuntimen ohjelmointi.....	43
11.4.1	AD-muuntimen alustus.....	43
11.4.2	AD-muuntamisen ohjelmointi	44
11.5	DMA-ohjelmointi.....	45
11.6	Ajastimen ohjelmointi	46
12	MSP430-MIKROKONTROLLERIN AD-MUUNTAMINEN	47
12.1	Muunnos yhdeltä kanavalta	47
12.2	AD-muunnos useammalta kanavalta.....	48
12.3	AD-muunnoksen lähetys SPI-väylään.....	48
13	LAITTEEN KUVAUS	49
14	VENYMÄLIUSKAOHJELMAN TESTAUS.....	49
15	AD-MUUNNOKSEN LÄHETYS LANGATTOMASTI MSP430-MIKROKONTROLLERILLA50	
15.1	MSP430FR5739-mikroprosessorin ohjelma	50
15.2	Sisääntulopinnien asetukset.....	51
15.3	AD-muuntimen asetukset.....	52

15.4 DMA-asetukset.....	53
15.5 Ajastimen asetukset.....	54
16 WLAN-LÄHETYKSEN OHJELMA	55
17 DATANKERÄYSOHJELMA.....	57
18 AD-MUUNNOKSEN LÄHETYKSEN TESTAUS	61
19 VÄRÄHTELYN MITTAUKSEN TESTAUS JA DATAN LÄHETYS	64
20 YHTEENVETO	67
LÄHTEET	68

LIITTEET

Liite 1 Esimerkki voimanmittausohjelma PS081-kortilla

Liite 2 AD-muunnosohjelma MSP430-mikrokontrollerilla

Liite 3 AD-muunnos SPI-väylään MSP430-mikrokontrollerilla

Liite 4 MSP430-pääohjelma

Liite 5 MSP430-pääohjelman AD-muunnosohjelma

LYHENTEET JA KÄSITTEET

AD-muunnin	(Analog-to-digital converter) Laite, joka muuntaa analogisen signaalin digitaalseksi
Wheatstonen silta	Menetelmä vastuksen resistanssin määrittämiseksi
Piezosähköinen ilmiö	Kiteeseen syntyy sähköinen varaus, kun sen muotoa muutetaan
WLAN	Langaton lähiverkko
SPI	(Serial Peripheral Interface) Synkroninen sarjaliikenne väylä
RAM	(Random access memory) Laitteen käyttömuisti tai työmuisti
ROM	(Read Only Memory) Laitteen pysyväismuisti
EEPROM	(Electrically Erasable Programmable Read-Only Memory) Haihtumaton puolijohdemuisti
LCD	(Liquid Crystal Display) Nestekidenäyttö
I/O	(Input/Output) Sisään - tai ulostulo - pinni
LPM	(Low Power Mode) Vähävirtainen tila
FRAM	(Ferroelectric Random Access Memory) Kuten RAM, mutta käyttää ferrosähköistä-tekniikkaa
Mbps	(Megabits per seconds) Tiedonsiirtonopeus, joka ilmaisee kuinka monta megabittiä tieto on siirtynyt sekunnissa

Isäntätila	Laite, jonka käskyistä siihen liitetyt laitteet suorittavat haluttu käskyt
Orjatila	Laite, joka suorittaa siihen liitetyn isäntälaitteen antamat käskyt
DMA	(Direct Memory Access) Tiedon siirtäminen muistiin ilman prosessorin käyttöä
Ajastin	(Timer) Kellolaite tai ohjelma, jonka avulla voidaan säädellä jonkun tapahtuman käynnistymis- ja päättymisaikoja.
PMW	(Pulse Width Modulation) Pulssinleveysmodulaatiolla pyritään säätämään kuormaan menevää jännitettä muuttamalla pulssisuhdetta. Tällä pyritään saamaan lähtösignaalin keskiarvo samaksi kuin modulointisignaalin arvo, joka on laskettu yhden värähtelyjakson aikana
LabView	National Instrumentsin tekemä graafinen ohjelmointiympäristö, joka perustuu G-kieleen
UDP	(User Datagram Protocol) Protokolla, joka ei tarvitse yhteyttä laitteiden välille, mutta mahdollistaa silti tiedonsiirron

1 JOHDANTO

Tässä opinnäytetyössä tutustutaan siltojen kunnonvalvontajärjestelmiin sekä antureihin, joita käytetään kunnonvalvontajärjestelmissä. Nämä anturit ovat venymäliuskat ja kiihtyvyyssanturit. Lisäksi raportissa käydään läpi laiteohjelmointia kahdella eri laitteella. Opinnäytetyössä kehitetään mittauslaitteisto siltojen kunnonvalvontaa varten. Laitteistolla voidaan mitata voimaa venymäliuskoilla ja värähtelyä kiihtyvyyssanturilla.. Näiden lisäksi mitattu data lähetetään langattomasti tietokoneelle. Laitteisto koostuu voiman- ja värähtelynmittausosasta, datansiirto-osasta ja datankeräysosasta. Voiman- ja värähtelyn mittaamiseen on olemassa erilaisia valmiita laitteistoja ja tässä työssä pyritään toteuttaa toimiva datankeräysjärjestelmä mittauslaitteiston rinnalle.

Siltojen kunnonvalvontajärjestelmä työ on jatkoa Sulautettujen järjestelmien erikoistyyö-kurssilla tehtyyn työhön. Kurssi kuuluu elektroniikan koulutusohjelmaan ja työn aihe on saatu opettaja Seppo Karjalaiselta.

2 SILTOJEN KUNNONVALVONTA

Siltojen kunnonvalvonnalla tarkoitetaan siltojen rakenteellisen kunnon valvontaa ja tarkastusta erilaisilla sensoreilla (Gastineu, Johnson, & Schultz 2009, 13).

Siltojen kunnonvalvontaa tehdään, koska valmistumisen jälkeen silta altistuu monelle tekijälle, jotka vaurioittavat sillan kuntoa. Erilaisia vaurioittavia tekijöitä ovat ilmasto, hapettuminen, korroosio ja ikääntyminen. Lisäksi silta vaurioituu ajan myötä painotaakasta, joka syntyy liikenteestä. Koska edellä mainitut asiat lyhentävät sillan käyttöikää ja vaarantavat liikennettä, on siltaa varten rakennettava luotettava kunnonvalvontajärjestelmä. Sillan kunnonvalvontajärjestelmän avulla saadaan tietoa sillan kunnosta ajoissa ja voidaan ajoittaa sillan huoltoajankohdat.

Sillan kunnonvalvontajärjestelmä koostuu monesta eri osasta, joita ovat sensorijärjestelmä, datan kerääminen, datan siirtäminen, datan käsittely ja datan analysointi. Lisäksi järjestelmään kuuluu datan hallinnointi, etäkommunikointi ja datan arviointijärjestelmä. (Jing, Chun, Chun, & Liqiao 2009, 1 – 5.)

2.1 Sensorityypit

Sillan kunnonvalvonnassa mitataan erilaisilla sensoreilla eri suureita. Tässä työssä keskitytään eritoten värähtelyn, voiman ja taipumisen mittaamiseen tarkoitettuihin sensoreihin. Värähtelyn mittaamiseen käytetään kiihtyvyysanturia, koska värähtely voidaan kuvata kiihtyvyyden avulla. Voiman ja taipumisen mittaamiseen käytetään yleisesti erityyppisiä venymäliuska-antureita. Sillan siirtymän mittaamiseen on olemassa omat siirtymisen mittaamiseen tarkoitetut sensorit. (Gastineu ym. 2009, 15 – 16.)

2.2 Tehonsyöttö

Siltojen kunnonvalvontajärjestelmän sensoreille voidaan tuoda virtaa monella tavalla. Yleensä virta tuodaan suoraan sähköverkosta vaihtovirtana. Toinen vaihtoehto on käyttää akkuja. Aurinkoisilla paikoilla toimivat myös aurinkopaneelit, joilla voi ladata akkuja. (Gastineu ym. 2009.)

2.3 Datan keräys, siirto ja käsittely

Yleensä sillan kunnonvalvontajärjestelmissä käytetään langatonta sensoriverkkoa.

Data kerätään sensoreilta langattomasti ja käsitellään analysointia varten.

Käsittelyssä signaali AD-muunnetaan ja suodatetaan, jotta sitä olisi helpompi tutkia.

Joissakin tilanteissa joudutaan signaalille käyttämään myös erilaisia muunnoksia.

Yleensä kiihtyvyysanturin datalle tehdään DTFT-muunnos (Discrete-Time Fourier Transform), jolla data muutetaan aikatilasta taajuustilaan. Signaalinkäsittelyn jälkeen data voidaan tallentaa tietokantaan. (Zuozhou ym. 2012, 2 – 6.)

Datankeräysjärjestelmää suunniteltaessa on otettava huomioon, miten ja missä muodossa sensoreilta saatu signaali voidaan käsitellä ja analysoida. Sensorien signaalista täytyy saada selville, minkälainen signaali johtuu rasituksesta. Signaalissa voi olla erilaisia kohinoita, jotka vaikeuttavat signaalin analysointia. Tätä varten signaalia täytyy suodattaa. Tämän lisäksi datan siirrossa saattaa ilmetä ongelmia. Datapaketteja voi hävitä matkalle tai datan laatu on huonoa. (Jing ym. 2009, 2.)

2.4 Sillanvalvonnan esimerkkikohteita

2.4.1 Millau Viaduct

Yksi hyvä esimerkkikohde, jossa käytetään sillanvalvontaa, on Etelä-Ranskassa sijaitseva silta nimeltä Millau Viaduct. Tämä 2 460 metriä pitkä silta otettiin käyttöön vuonna 2004. Millau Viaduct on osa A75-moottoritietä, ja se rakennettiin ylittämään Tarn-joen laakso. Sillan eri osiin on asennettu lukuisia sensoreita mittaamaan sillan eri liikkeitä. Sensorijärjestelmä koostuu kiihtyvyysantureiden lisäksi tuulimittareista ja kallistumismittareista. Sillan venymää mitataan venymäsensoreilla. Sillan heilahtelut voidaan mitata kiihtyvyysantureilla millimetrien tarkkuudella. Data siirretään Ethernet-verkon avulla tietokoneille. (Millau Viaduct 2012.)

2.4.2 Rio-Antirio

Rio-Antirio on 2 880 metriä pitkä silta Kreikassa. Silta ylittää Korintinsalmen ja se otettiin käyttöön vuonna 2004. Tässä sillassa valvontajärjestelmä on toteutettu lukuisilla 3D-kiihtyvyyssantureilla, venymäliuskoilla ja siirtymäantureilla. Rio-Antirio -sillan kunnonvalvonta on tärkeää, koska silta sijaitsee alueella, jossa maanjäristykset ovat mahdollisia. (Pararas-Carayannis 2007.)



KUVA 1. Rio-Antirion sillanvalvontajärjestelmää (Spectrum.lee 2012)

3 VOIMAN MITTAUS VENYMÄLIUSKOILLA

3.1 Venymäliuska

Venymäliuska on laite, jolla voidaan mitata voimaa. Lisäksi sillä voidaan mitata myös räsitus rakenteissa ja materiaaleissa. (Yongdae ym. 2010, 1.)

Venymäliuskat reagoivat mekaaniseen rasitukseen ja niissä on aina jokin elektroninen parametri, joka muuttuu rasituksen voimasta (Stefanescu 2011, 1).

Venymäliuskoja on olemassa neljää eri tyyppiä. Yleisin venymäliuskatyyppi on resistanssin muutokseen perustuva venymäliuska, koska se on tarkin ja edullisin vaihtoehto. Muita venymäliuskatyyppejä ovat akustinen, optinen ja mekaaninen venymäliuska. Resistanssisen venymäliuskan toimintaperiaate perustuu resistanssin muutokseen venymäliuska, kun siihen kohdistuu voima. Resistanssin muutoksen avulla voidaan laskea materiaalin kohdistuvan voiman suuruus. (Yongdae ym. 2010, 1.)

Venymäliuskan resistanssi voidaan laskea kaavalla:

$$R = \rho \cdot \frac{L}{A} \quad (1)$$

Tässä R on venymäliuskan resistanssi ja ρ on resistiivisyys. L on venymäliuskan pituus ja A materiaalin pinta-ala. (Lidan ym. 2007, 1.)

Rasituksen tekijä GF on mekaanisesta rasituksesta johtuvan elektronisen resistanssin muutoksen suhde. GF ilmaisee myös venymäliuskan tarkkuuden. Se voidaan laskea kaavalla:

$$GF = \frac{(R(\varepsilon) - R_0) / R_0}{\varepsilon} \quad (2)$$

Tässä $R(\varepsilon)$ on venymäliuskan resistanssi venymisrasituksen ollessa ε . R_0 on venymäliuskan resistanssi, kun rasitus on 0 ja ε on venymäliuskaan kohdistuva mekaaninen venymisrasitus. (Yongdae ym. 2010, 4.)

Venymisrasitus ε saadaan laskettua materiaalin alkuperäisen pituuden ja venymisestä johtuvan pituuden suhteesta:

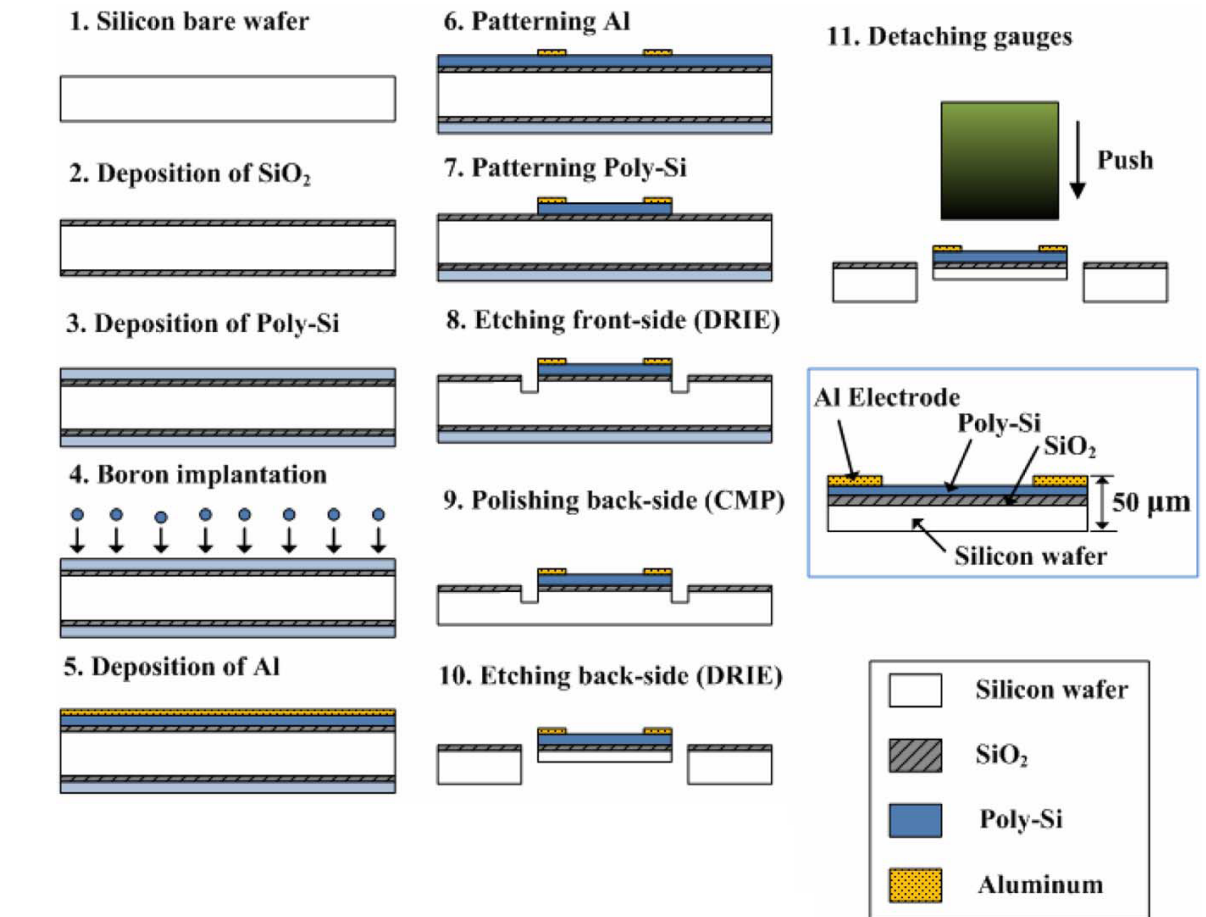
$$\varepsilon = \frac{\Delta L}{L} \quad (3)$$

Resistanssin muutokseen perustuvia venymäliuskoja on olemassa kolmea eri tyyppiä: lanka-, metallikalvo- ja polypiivenymäliuskat. Yleisimmin näistä on käytössä metallikalvovenymäliuska, mutta nykyaikaisin ja tarkin venymäliuskatyyppi on polypii-venymäliuska. Polypiivenymäliuskoja on olemassa joustavia ja ei-joustavia. Ei-joustavaa venymäliuskaa ei pysty suoraan liimaamaan mitattaviin rakenteisiin. Tämän takia kehitettiin joustavat polypiivenymäliuskat, jotka voidaan liimata suoraan mitattavaan alustaan. Polypiivenymäliuskoja käytetään erilaisissa anturiratkaisuissa, kuten paine-, kiihtyvyyssantureissa sekä gyroskoopeissa. (Yongdae ym. 2010, 1.)

3.2 Venymäliuskan valmistus ja rakenne

Kalvovenymäliuskan valmistuksessa metallikalvo syövytetään ruudukolle, joka on sähköisesti eristetyllä hartsilla (Kyowa 2012, 6).

Polypii-venymäliuska on yleensä voileipämäinen rakenne. Rakenne koostuu kolmesta kerroksesta, joita ovat eristävä kerros, polypii-kerros ja ei-johtava metallinen kerros. Polypii-venymäliuskan valmistusprosessi on kuvattu vaihe vaiheelta kuvassa 2. Valmistus aloitetaan tyhjästä piikiekosta, joka päällystetään ensiksi pii-dioksidilla ja boron-ioneilla. Sitten kiekko kerrostetaan alumiinikerroksella. Tämän jälkeen alumiini- ja pii-oksidi-kerrokset kuvioidaan kiekon päälle. Lopuksi kerrokset syövytetään oikeaan muotoon ensiksi kiekon etupuolelta ja sitten takapuolelta. Syövytyksessä käytetään etsausta. (Yongdae ym. 2010, 2 – 3.)



KUVA 2. Polypii-venymäliuskan valmistus (Yongdae ym. 2010, 3)

3.3 Venymäliuskan liimaus

Venymäliuskojen liimauksessa käytetään yleensä lasijuottamista. Tällä tavalla venymäliuskoihin saadaan matala hystereesi. (Yongdae ym. 2010, 2.)

Venymäliuskojen kiinnitystapa riippuu venymäliuskan tyypistä. Yksinkertaisin liimaus tehdään kalvovenymäliuskalle. Ensiksi alusta puhdistetaan huolellisesti jollakin kemiallisella aineella. Sitten venymäliuska asetetaan alustaan liiman kanssa. Venymäliuskan paikalleen painamisen ajaksi liuskan päälle on laitettava teippiä. Kun liima on kuivunut, teippi poistetaan ja voidaan kiinnittää venymäliuskan johdot. (Wilson 2005, 523.)

3.4 Wheatstonen silta

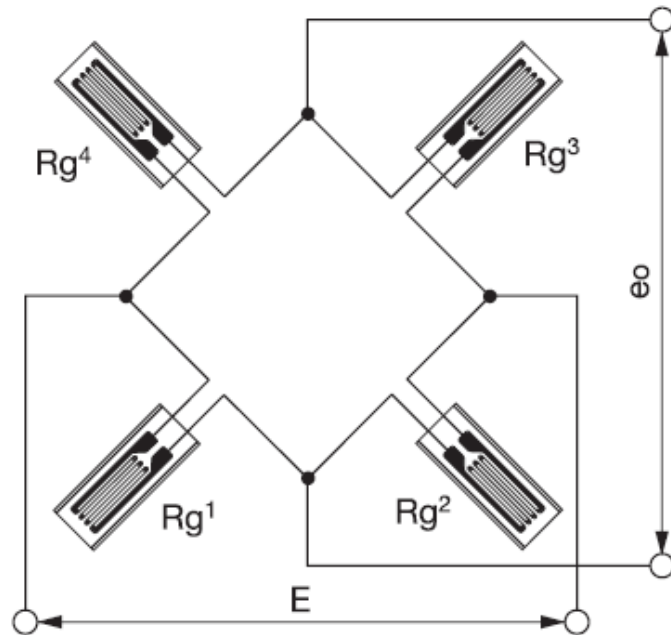
Venymäliuskojen rasituksesta johtuva elektronisen parametrin muutos on yleensä hyvin pieni ja vaikeasti havaittava. Tämän takia venymäliuskat rakennetaan Wheatstonen siltaan. Wheatstonen silta muuntaa muuttuvan resistanssin muuttuvaksi jännitteeksi. (Kyowa 2012, 9.)

Wheatstonen silta koostuu yleensä neljästä venymäliuskasta, jotka kaikki mittaavat rasitusta. Siltaan ajetaan sisään käyttöjännitettä ja ulostuleva jännite on mittaussignaali. Käyttöjännitteen ja ulostulevan signaalin suhde voidaan laskea kaavalla 4.

$$\frac{U_E}{U_A} = \frac{R_1}{R_1+R_2} - \frac{R_4}{R_3+R_4} \quad (4)$$

Tässä U_E on ulostuleva signaali ja U_A on käyttöjännite. R_1 , R_1 , R_1 ja R_4 ovat Wheatstonen sillan venymäliuskat. (Stefanescu 2011, 1.)

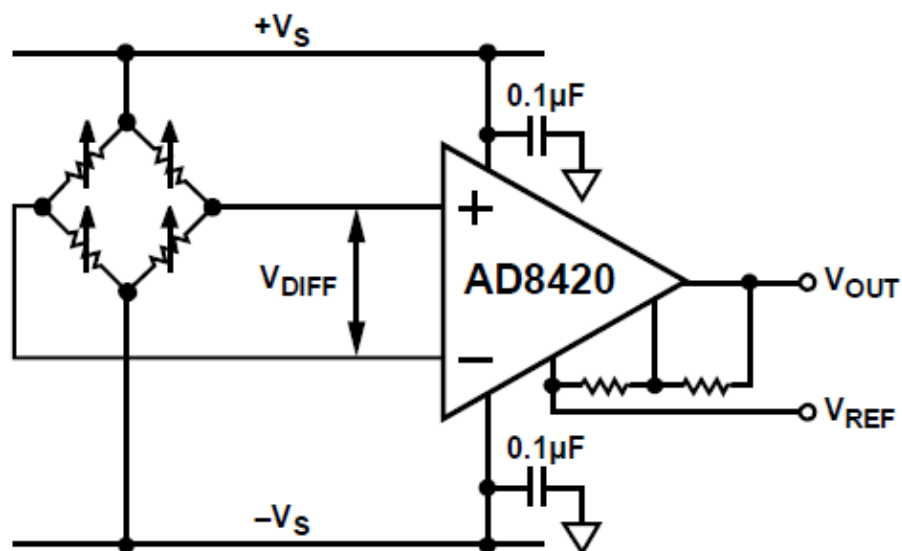
Wheatstonen sillasta voidaan käyttää myös puolikasta siltaa ja neljännesosasiltaa. Puolikkaassa sillassa on kaksi venymäliuskaa ja neljännesosasillassa on vain yksi venymäliuska. Kuvassa 3 on kokonainen Wheatstonen silta, jossa on neljä mittaavaa venymäliuskaa kytketty siltaan. Kuvassa kirjain E tarkoittaa sillan käyttöjännitettä ja e_0 on sillan ulostulojännite.



KUVA 3. Wheatstonen silta (Kyowa 2012, 7)

3.5 Signaalin vahvistaminen

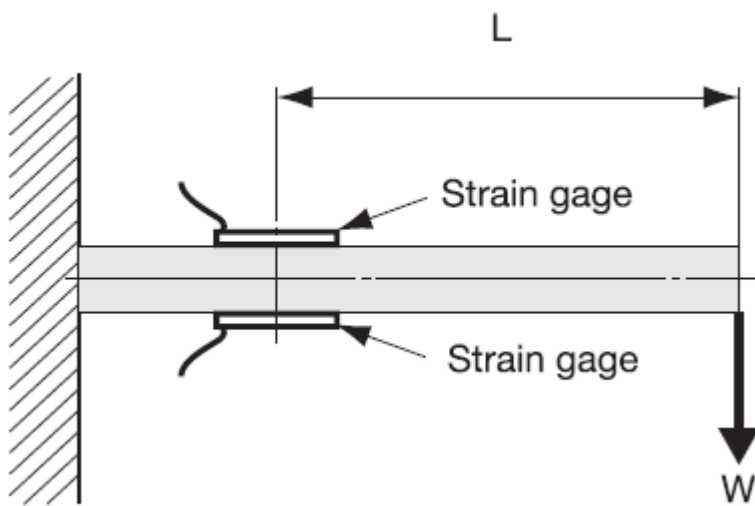
Siltakytkennästä saatu signaali pitää vahvistaa ennen kuin se voidaan viedä jatkokäsiteltäväksi. Wheatstonen silta kytketään esimerkiksi instrumentointivahvistimeen, joka vahvistaa signaalin riittävän suureksi. Kuvassa 4 on Analog Devicen instrumentointivahvistin AD8420, joka on liitetty siltakytkentään.



KUVA 4. Instrumentointivahvistin ja siltakytkentä (Analog Devices 2012, 25)

3.6 Mittaus venymäliuskoilla

Venymäliuskalla voidaan mitata monella eri tavalla rasitusta ja voimaa. Mittaustapa riippuu käytössä olevasta Wheatstonen sillan tyypistä. Esimerkiksi, jos mitataan tiettyyn palkkiin aiheutuvaa rasitusta, niin neljännesosasillassa venymäliuska kiinnitetään vain palkin yhdelle puolelle. Puolikkaassa sillassa venymäliuskat kiinnitetään molemmiin puolin palkkia. Kuvassa 5 on esimerkkimittaus puolikkaalla Wheatstonen sillalla. Siinä kaksi venymäliuskaa on kiinnitetty palkin ylä- ja alapuolelle. Kuvassa kirjain L tarkoittaa etäisyyttä venymäliuskan keskikohdasta palkin päähän. Kirjain W tarkoittaa palkkiin kohdistuvaa voimaa. (Kyowa 2012, 8.)



KUVA 5. Mittaus puolikkaalla Wheatstonen sillalla (Kyowa 2012, 8)

Puolikkaan sillan ratkaisussa pinnan rasitus σ voidaan laskea kaavalla 5.

$$\sigma = \frac{\varepsilon}{2} \times E \quad (5)$$

Tässä ε on rasitus ja E sillan käyttöjännite. (Kyowa 2012, 8.)

4 VÄRÄHTELYN MITTAUS KIIHTYVYYSANTURILLA

4.1 Kiihtyvyyssanturi yleisesti

Kiihtyvyyssanturi on anturi, jolla mitataan kiihtyvyyttä, värähtelyä ja iskuja. Kiihtyvyyssanturia käytetään yleisesti monessa asiassa, kuten tutkimuksissa ja erilaisissa mittauksissa. Sitä käytetään myös eritoten autoteollisuudessa. Yleisimmin käytössä oleva kiihtyvyyssanturi on piezosähköinen kiihtyvyyssanturi. Muita kiihtyvyyssanturityyppejä ovat piezoresistiivinen- ja kapasitiivinen kiihtyvyyssanturi. (Wilson 2005, 137.)

4.2 Piezosähköisen kiihtyvyyssanturin toimintaperiaate

Piezosähköinen kiihtyvyyssanturi sisältää piezosähköinen osan, joka toimii sensorin mittaavana elementtinä. Piezosähköinen osa on yleensä jonkinlainen vieteri anturin sisällä. Lisäksi sensori sisältää seismisen massan. Piezosähköinen vieteri yhdistää anturin pohjan ja seismisen massan toisiinsa. Kun anturin pohjaan kohdistuu kiihtyvyys, piezosähköisessä materiaalissa syntyy voima. Tämän voiman suuruus riippuu siitä, kuinka suuri kiihtyvyys on tai kuinka suuri seisminen massa on.

Voima voidaan laskea Newtonin I:n lain mukaan:

$$F = ma \quad (6)$$

Tässä m on anturin sisällä oleva seisminen massa ja a anturiin kohdistuva kiihtyvyys. (Wilson 2005, 138.)

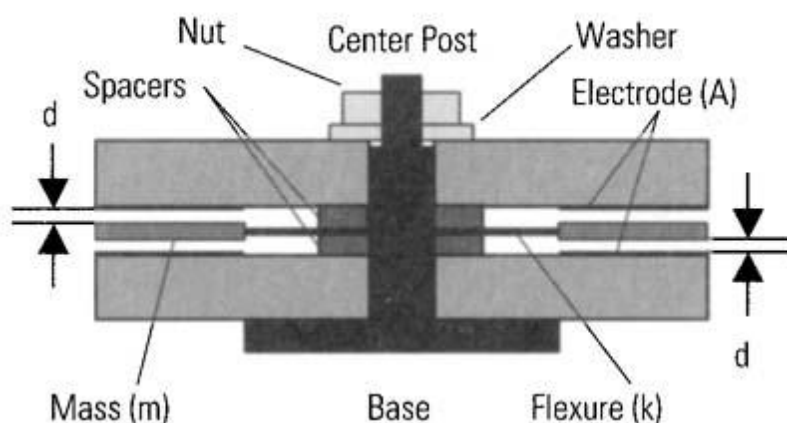
4.3 Piezoresistiivisen kiihtyvyyssanturin toimintaperiaate

Piezoresistiivisessä kiihtyvyyssanturissa on piezoresistiivisiä vastuksia, joiden vastus muuttuu, kun kiihtyvyyssanturiin kohdistuu kiihtyvyys. Piezoresistiivinen kiihtyvyyssanturi sisältää palkin, jonka toisessa päässä on tietyn suuruinen massa. Massa taivuttaa palkkia kiihtyvyyden mukaan ja palkissa olevat vastukset reagoi-

vat tähän taipumiseen. Tämän lisäksi vastukset on laitettu Wheatstonen siltaan, jotta ulostulevasignaali olisi jännitteen muutos. (PCB Piezotronics 2012.)

4.4 Kapasitiivisen kiihtyvyyssanturin toimintaperiaate

Kapasitiivisen kiihtyvyyssanturin toimintaperiaate on samantapainen kuin piezoresisttiivisen kiihtyvyyssanturin. Kapasitiivisessa kiihtyvyyssanturissa muuttuva suure on kapasitanssi. Kiihtyvyyssanturin sisällä on vastakkaiset levykondensaattorit, joiden etäisyydet vaihtelevat kiihtyvyyden mukaan. Kuvassa 6 on esillä kapasitiivisen kiihtyvyyssanturin toimintaperiaate. (Wilson 2005, 146.)



KUVA 6. Kapasitiivisen kiihtyvyyssanturin toimintaperiaate (Wilson 2005, 146)

4.5 Kiihtyvyyssanturin valmistus

Nykyisin valmistus- ja pakkaustapana käytetään MEMS (Micro-Electro Mechanical Systems) -tekniikkaa. MEMS-tekniikan avulla voidaan yhdistellä mekaanisia, elektronisia ja optisia asioita. MEMS-tekniikassa on paljon etuja verrattuna vanhoihin tekniikoihin. Laitteista saadaan pienikokoisia, kevyitä, vähävirtaisia ja edullisia. (Rogers, Ramadoss, Ozmun & Dean 2007, 1.)

MEMS-anturit valmistetaan etsaamalla eli syövyttämällä kerroksia piialustan päälle (Gardner, Varadan & Awadelkarim 2001, 399).

4.6 Kiihtyvyysanturin signaalin käsittely

Kiihtyvyysanturin signaali on analogista ja se pitää muuntaa digitaalseksi, jotta signaali voidaan käsitellä. Signaalin muuntaminen tehdään AD-muuntimella, joka voi olla erillinen piiri tai osana mikroprosessoria. Kiihtyvyysanturin signaali täytyy myös suodattaa, jotta päästäisiin eroon syntyneestä kohinasta, joka epäselkeyttää heikkoa signaalia. Kohina voidaan suodattaa esimerkiksi alipäästösuodattimella. Alipäästösuodatin voidaan toteuttaa ohjelmistolla mikroprosessorissa tai yksinkertaisella RC-piirillä, jossa on vastuksen ja kondensaattorin kytkentä. Digitaalisen suodattimen yhtälö voi olla esimerkiksi kaavan 7 mukainen.

$$H(z) = \frac{Y(z)}{X(z)} = \frac{\sum_{k=0}^M B_k z^{-k}}{1 - \sum_{k=1}^N A_k z^{-k}} \quad (7)$$

Tästä saadaan muodostettua sisään ja ulostulon korrelaatio:

$$y(n) = \sum_{k=1}^N a_k y(n-k) + \sum_{k=0}^M b_k x(n-k) \quad (8)$$

(Ming, Xiaokun & Yawen 2008, 3.)

4.7 Värähtelyn mittaus

Kiihtyvyysanturi soveltuu värinän mittaamiseen sen hyvän taajuusvasteen takia. Yksinkertaisimmillaan värinänmittausjärjestelmään kuuluu kiihtyvyysanturin lisäksi signaalin käsittelyosa, signaalin analysointiosa ja laitteisto, jolla signaali tallennetaan. Signaalin käsittelyosassa signaalia vahvistetaan ja muutetaan impedansseja. Analysointiosassa signaali muunnetaan haluttuun muotoon ja lopuksi signaalin tallennusosassa signaali tallennetaan. (Morris & Langari 2012, 523 – 524.)

5 LANGATON DATANSIIRTO

Tässä työssä käytettiin langattomaan datansiirtoon WLAN-tekniikkaa. WLAN eli wireless LAN tarkoittaa langatonta lähiverkkoa, jonka avulla voidaan liittää laitteita toisiinsa langattomasti. Ajan myötä WLAN-tekniikka on kehittynyt niin, että nopeudet ovat nousseet ja muutenkin tekniikka on parantunut. WLAN:lle on määritelty oma IEEE (Institute of Electrical and Electronic Engineers) standardinsa.

Ensimmäinen IEEE-standardi oli 802.11. Sen maksimi tiedonsiirtonopeus on 2 Mb/s. Seuraava standardi oli 802.11b, ja sen tiedonsiirtonopeus voi olla maksimissaan 11 Mb/s. Nämä kaksi standardia toimivat molemmat 2.4 GHz:n taajuudella.

Uudemmat standardit ovat 802.11a ja 802.11g. Näissä tiedonsiirtonopeus voi olla 54 Mb/s ja taajuus 5 GHz. 802.11n on uusin käytössä oleva standardi. Se yhdistää 2.4:n ja 5:n GHz:n käyttötaajuuksia. 802.11n käyttää MIMO (Multiple-inputs, Multiple-outputs) -tekniikkaa. MIMO-tekniikka pystyy käyttämään useampaa antennia ja pystyy näin ollen käsittelemään enemmän dataa kerralla.

Langattomassa tiedonsiirrossa voi olla heikkouksia verrattuna langalliseen tiedonsiirtoon. Yksi heikkous on niin sanotut kuolleet pisteet. WLAN-verkossa voi olla niin sanottuja kuolleita kohtia, joissa signaali on heikko tai sitä ei ole ollenkaan. Nämä kuolleet kohdat verkossa voivat johtua muista samantaajuisista signaalilähteistä. (Caro 2008, 1 – 6, 9 – 10.)

Langaton verkko täytyy suojata salasanalla, jottei sitä pääse muut käyttämään luvattomasti. Salaustyyppejä ovat WEP (Wireless Equivalent Protocol) ja WPA (Wi-Fi Protected Access). WEP-salauksessa käytetään 40/64-bittisiä salasanoja, jotka eivät kuitenkaan ole kovin varmoja. WPA-suojaus on tehty korvaamaan WEP-suojaus ja parantamaan salasanojen varmuutta. Lisäksi WPA-suojaus lisäsi tunnistettavien käyttäjien kapasiteettia. (Chen 2005, 999.)

6 ENERGIAHARVESTERIT

Energiaharvestereilla tarkoitetaan laitteita, joilla kerätään pieniä määriä energiaa ympäristöstä. Energianlähteinä voivat olla esimerkiksi tuulivoima, aurinkovoima, lämpö tai värinä. Harvesterin tuottamalla energialla on pyritty korvaamaan kannettavien laitteiden paristot ja muut virtalähteet. Energian keräämiseen on olemassa erilaisia sensoreita ja toimintatapoja. Yksi esimerkki on piezosähköinen energiaharvesteri, joka muuntaa mekaanisen energian sähköiseksi energiaksi. (Mhetre, Nagdeo & Abhyankar 2011, 1.)

Energiaharvestereita käytetään seuraavissa teollisuuden sovelluksissa:

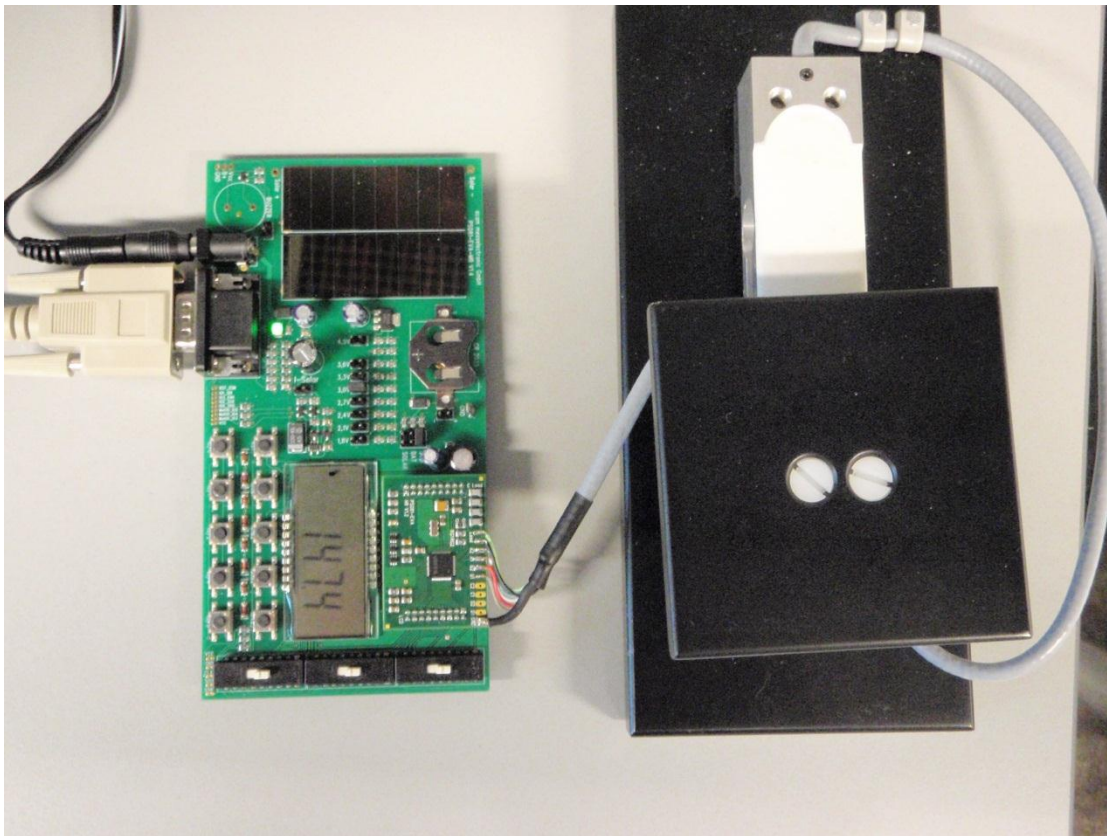
- potilaiden etäseuranta
- valvonta ja turvallisuus
- maatalouden sovellukset
- kotiautomaatio
- rakenteiden seuranta. (Texas Instruments 2012e.)

7 DB_PS081-EVA-KIT

Tässä työssä perehdyttiin Acamin valmistamaan venymäliuskaprosessoriin PS081. Venymäliuskaprosessorin avulla oli tarkoitus tehdä työhön liittyvät voiman ja räsituksen mittaukset.

PS081-EVA-KIT koostuu emolevystä, kuormitusanturista, kolmesta prosessorimoduulista ja PICOPROG-ohjelmointilaitteesta. Prosessorimoduulit sisältävät PS081-prosessorin ja ne liitetään emolevy-alustalle. Moduuleita käytetään eri käyttötarkoitusta varten. Ensimmäinen moduuli on korkearesoluutio-moduuli, jota käytetään kun halutaan saada PS081-prosessorista täysi teho irti. Toinen moduuli on nimeltään standard-moduuli. Sitä käytetään vähemmän korkearesoluutiosisissa-sovelluksissa. Kolmas moduuli on nimeltään Wheatstone-moduuli ja sitä käytetään, kun halutaan kytkeä Wheatstonen silta venymäliuskakorttiin kiinni. (Acam 2012a, 5.)

Kitin mukana tuleva kuormituskenno kytketään korkearesoluutio-moduuliin. Kuvassa 7 on PS081-EVA-KIT ja mukana tuleva kuormituskenno toimintavalmiina.



KUVA 7. PS081-EVA-KIT

Normaalissa käytössä käytetään standard-moduulia. Siihen voidaan kytkeä sensoreita kuten muihinkin moduuleihin. Lisäksi moduuleissa on juotettu valmiiksi lämpötilasensorit lämpötilamittausta varten. Emolevykortilla on LCD-näyttö, josta voidaan lukea esimerkiksi mittaustuloksia. Lisäksi kortille voidaan liittää ulkoinen LCD-näyttö.

Laitteessa on muun muassa seuraavia ominaisuuksia:

- 10 painonappia
- aurinkokenno
- SPI-liitäntä
- paristo
- RS232-liitin. (Acam 2012a, 5.)

7.1 Acam Picostrain PS081 -siltavahvistinprosessori

Acam Picostrain PS081 on 24-bittinen mikroprosessori, joka on suunniteltu käytettäväksi erilaisissa painonmittaussovelluksissa. Lisäksi PS081:lla voidaan mitata voimaa ja vääntömomenttia. (Acam 2012b, 6.)

7.1.1 RAM, ROM ja EEPROM

Picostrain PS081 -prosessorikortti sisältää RAM-, ROM- ja EEPROM-muistia. RAM-muistin osoiteväylä sisältää 127 osoitetta. Jokaisen RAM-muistin osoitteen osoitin on kartoitettu ALU-rekisteriin. RAM-muistin osoitteen osoitinta voidaan hallita ramad-komennolla.

127 osoitteesta muistipaikat 0 – 15 on varattu käyttäjän omiin tarpeisiin. Muistipaikat 16 – 31 sisältävät esimerkiksi venymäliuskojen mittausdataa. Muistipaikat 32 – 47 ovat myös käyttäjälle tarkoitettuja. Konfiguraatiorekisterit sijaitsevat muistipaikoissa 48 – 66. Tästä eteenpäin on varjomuistia ja LCD-näytön segmenttien tarvitsemia muistipaikoja.

ROM-muisti on pysyvää muistia, jossa sijaitsee oleelliset käskyt ja asiat. Näitä asioita tarvitaan esimerkiksi mittauksissa. ROM-muisti alkaa muistipaikasta 2 048. EEPROM-muistin koko on 2 048 tavua, ja se on jaettu neljään 512 tavun lohkokseen. (Acam 2012b, 104 – 106.)

7.1.2 Konfiguraatiorekisterit (Configuration Registers)

PS081-mikroprosessori sisältää 18 konfiguraatiorekisteriä, jotka ovat 24 bitin levyisiä. Konfiguraatiorekisterit sijaitsevat muistipaikasta 48 muistipaikkaan 66. Konfiguraatiorekistereillä ohjataan koko laitetta ja kaikkia siihen liitettyjä asioita, kuten LCD - ohjainta ja venymäliuskojen mittausta. PS081-prosessorikortin asetukset on peilattu EEPROM-muistissa. Kun käytetään kortin omaa prosessoria, asetukset kirjoitetaan EEPROM-muistiin. Ulkoista prosessoria käytettäessä asetukset kirjoitetaan RAM-muistiin. Kuvassa 8 on esillä konfiguraatiorekisteri 11, jossa sijaitsee esimerkiksi kortin I/O-porttien hallinta. Kuvan taulukon ylärivillä on ilmoitettu bitin numero ja alarivillä bitille asetettu arvo. Konfiguraatiorekisterien käytöstä kerrotaan lisää ohjelmointiosiossa luvussa 7. (Acam 2012b, 88.)

Configreg_00: RAM address 48 EEPROM bytes 0 - 2

23	22	21	20	19	18	17	16	15	14	13	12	11	10	9	8	7	6	5	4	3	2	1	0		
tdc_conv_cnt										io_a				osz10kHz_fsos											
														1	1	0	0	1	0	1	1	0	0		
<div>sel_compr</div>																				dis_osc_startup		cpu_speed		dis_haltpp_ps	

kuormituksella. Kuormituksen arvo saadaan määritettyä kahden purkautuvan ajan suhteesta. Tarkkuus on luokkaa 15 ps:n resoluutiolla. (Acam 2012b, 24.)

7.2 Muita ominaisuuksia

PS081-venymäliuskaprosessorikortissa on myös muita hyödyllisiä ominaisuuksia, joita voidaan käyttää venymäliuskamittausten yhteydessä.

7.2.1 Kuormakondensaattori

Kuormakondensaattorilla on iso vaikutus mittauksen laatuun ja lämpötilan vakauteen. Picostrain:n valmistajan mukaan Cload eli kuormakondensaattori pitää valita venymäliuskojen resistanssin mukaan. Cload voidaan laskea kaavalla:

$$Cload = 0,7 \times Rsg \times Cload \quad (9)$$

jossa Rsg on venymäliuskojen resistanssi. (Acam 2012b, 32.)

7.2.2 Kellojakso

Kellojaksolla tarkoitetaan aikaväliä seuraavien purkautuvien ajanmittausten välissä. Purkautuva aika määritellään venymäliuskojen ja kuormakapasitanssin arvojen perusteella. Suositeltu purkautuva aika on väliltä 80 – 150 us. Lisäksi latausajan on oltava tarpeeksi pitkä takaamaan kuormakondensaattorin uudelleen latauksen täydeksi asti. Kellojakso voidaan asettaa Picostrainin rekisteriin.

Purkautumisjaksot määräytyvät sen mukaan, minkälainen venymäliuskaratkaisu on käytössä. Esimerkiksi puolikkaalla sillalla tarvitaan kaksi jaksoa ja kokonaisella sillalla neljä jaksoa. (Acam 2012b, 33.)

7.2.3 Tilat ja ajoitukset

Venymäliuskaprosessori PS081 sisältää kolme erilaista toimintatilaa. Näitä ovat jatkuva tila, yksittäisen muunnoksen tila ja venytetty tila. Jatkuvasatilassa prosessori tekee jatkuvaa purkautuvan ajan mittausta. Yksittäisen muunnoksen tilassa prosessori tekee täydellisen mittaussarjan ja menee sitten lepotilaan. Venytetty tila yhdistää

muutaman mittauksen edut. On myös olemassa jatkuva venytetty tila, joka yhdistää jatkuvan tilan ja venytetyn tilan. Tässä tapauksessa puolikkaiden siltojen purkautuvan ajan mittausten välillä on pitempi väli. Jatkuvan venytetyn tilan lisäksi voidaan käyttää jatkuvaa yksittäistä muunnosta.

Eri tilojen käyttö riippuu siitä, mihin venymäliuskoja käytetään. Muunnostila valitaan prosessorin konfiguraatiorekisterissä kaksi. Jos halutaan yksittäinen muunnos, asetetaan käsky `single_conversation = 1`. Jatkuvassa tilassa valitaan 0. Venytetty tila asetetaan konfiguraatiorekisteriin kolme käskyllä `stretch`. (Acam 2012b, 37 – 39.)

7.2.4 Jälkikäsittely

Kun mittaus on tehty, muunnin tekee jälkikäsittelyn mitatulle datalle. Muunnin tallentaa kalibroidun ja skaalatun tuloksen laitteen RAM-muistin rekisteriin. (Acam 2012b, 47.)

7.2.5 Oskillaattori

Laite sisältää sisäisen vähävirtaisen 10 kHz:n oskillaattorin. Sitä käytetään erilaisissa ajastin-funktioissa ja kellojakson määrittämisessä.

Oskillaattorin toiminta määritellään konfiguraatiorekisteriin numero kolme. PS081 sisältää myös oskillaattorihjauksen ulkoiselle 4 Mhz:n resonaattorille. Sitä voidaan käyttää esimerkiksi ajan mittauksessa. (Acam 2012b, 58.)

7.2.6 LCD-näyttö

PS081-prosessori sisältää LCD:n ohjauksen. LCD-ohjaukselle on varattu 18 pinniä, joilla voidaan lähettää maksimissaan kuusi numeroa, pilkun ja kahdeksan erikoismerkkiä. Korttiin voidaan liittää myös ulkoinen LCD-ohjain SPI-väylän avulla. (Acam 2012b, 59.)

7.3 Liitännät

PS081-prosessorissa on I/O-pinnit erilaisia liitäntöjä varten. Sarjamuotoisen datan lähetys tehdään SPI-liitännällä, joka toimii I/O-pinnien avulla.

PS081 sisältää 6 I/O-pinniä. I/O-pinnit on nimetty seuraavasti:

SPI_DO_IO0

SPI_DI_IO1

SPI_CLK_IO2

MULT_IO3

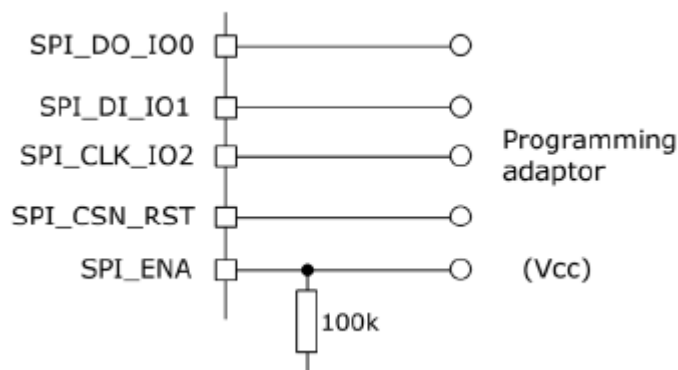
MULT_IO4

MULT_IO5

SPI_DO on ulostulo sarjamuotoiselle datalle ja SPI_DI on sisääntulo. SPI_CLK on sarjamuotoinen kellosignaali. Mult-alkuiset pinnit ovat monikäyttöisiä I/O-pinnejä. I/O-pinnit määritetään konfiguraatiorekistereissä 11 ja 17.

Rekisteriin määritetään luku 11, jos halutaan pinnistä sisääntulon. Ulostulo määritetään luvulla 00. (Acam 2012b, 72 – 73.)

SPI-väylän avulla PS081-prosessori voidaan liittää toiseen mikrokontrolleriin. SPI-väylän avulla voidaan lähettää erilaista tietoa eteenpäin tai vaikkapa hallita toista laitetta. PS081:n SPI-liitännät ovat kuvan 9 mukaiset.



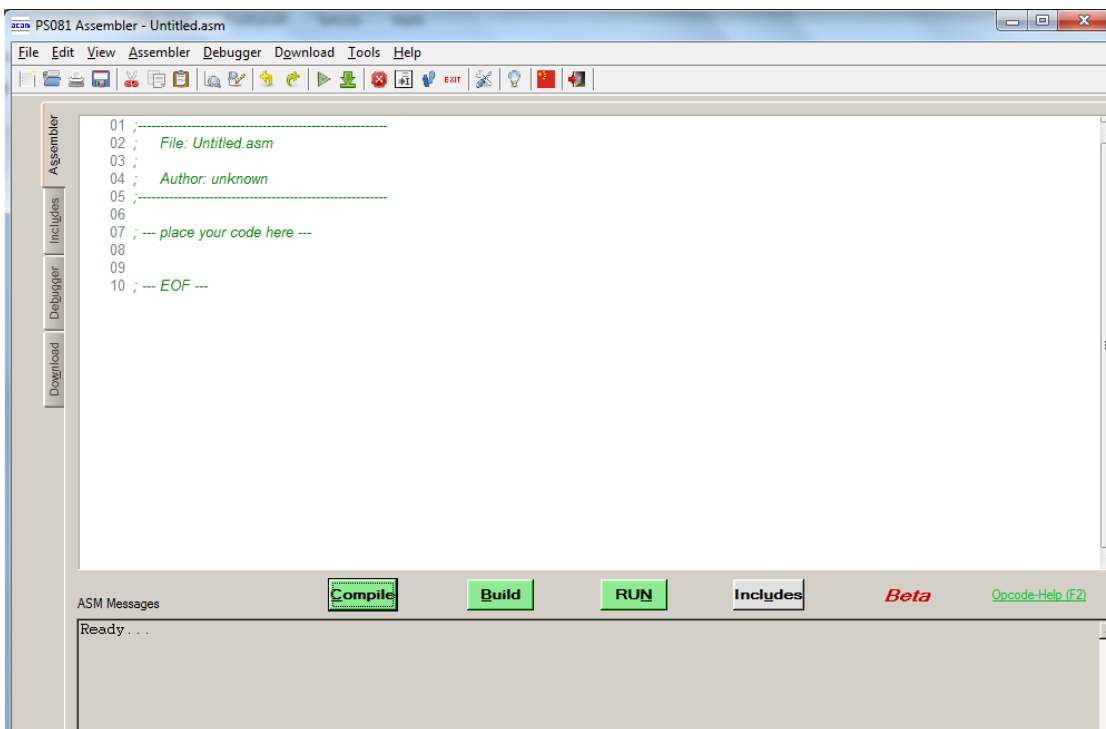
KUVA 9. SPI-väylän liitännät (Acam 2012b, 75)

SPI-väylä saadaan käyttöön asettamalla SPI_ENA-pinni ylätilaan. Kun SPI-väylä on aktiivinen, liitännät toimivat SPI-portteina normaalien I/O-porttien sijaan.

SPI-väylää hallitaan omilla komennoilla, jotka ovat hexamuotoisia assembler-käskyjä. Kaikki käskyt kirjoitetaan RAM-muistiin ja sieltä ne myös luetaan. SPI-käskyt voidaan kirjoittaa myös EEPROM-muistiin, mutta valmistaja suosittelee käyttämään RAM-muistia, kun käytetään ulkoista mikroprosessoria. (Acam 2012b, 75 – 81.)

8 PICOSTRAIN PS081 -OHJELMOINTI

PS081-prosessorin ohjelmointi tehdään laitteen omassa Assembler-ohjelmointiympäristössä (kuva 10). Tässä työssä oli tarkoituksena tutustua laitteen mittauksen ohjelmointiin sekä SPI-väylän ohjelmointiin. PS081-mikrokontrolleripaketti sisältää valmiin mittausohjelmiston sekä useita esimerkkiohjelmia.



KUVA 10. PicoStrain-ohjelmointiympäristö

PS081-ohjelmointi on assembler-kielellä tehtävää ohjelmointia ja se sisältää lähes kaikki tunnetut konekieliset käskyt. Konekieliset käskyt tosin riippuvat aina kyseessä olevasta prosessorista. Käskyt voivat olla eri nimillä. Ohjelmointiympäristö sisältää peruskäskyt kuten move, add, sub jne.

PS081-prosessorissa on kolme erilaista akkua, joihin voidaan tallentaa tietoa. Nämä ovat x-akku, johon tallennetaan yleensä mittausdata. Sitten on y-akku, johon voidaan

tallentaa esimerkiksi lämpötilan arvot. Kolmas akku on z-akku, joka toimii lippurekisterinä.

Vakiot ja muuttujat määritellään komennolla `CONST`. Näiden määrittely tehdään aina ohjelman alussa. Vakio määritellään esimerkiksi seuraavalla tavalla:

```
CONST result_HB0 20
```

Vakion perässä oleva luku viittaa vakion muistipaikan numeroon.

Ehkä tärkein komento tässä ohjelmointiympäristössä on `ramadr`. Tällä komennolla asetetaan osoitin tietylle muistiosoitteelle. Seuraavassa esimerkissä osoitetaan mitaustuloksen muistipaikkaan `result_HB0` ja siirretään sen arvo x-akkuun.

```
Ramadr result_HB0
```

```
move x, r
```

(Acam 2012b, 106 – 110.)

8.1 Konfiguraatiorekisterin ohjelmointi

Konfiguraatiorekisteri on ohjelmoinnin kannalta tärkeimpiä asioita PS081-prosessorissa. Rekistereitä on 18 kappaletta ja niillä ohjataan laitteen kaikkia toimintoja. Joka rekisterissä on 24 bittiä, joita voi muuttaa 1:ksi tai 0:ksi. Kun bitin arvo on yksi, se on käytössä ja nolla, kun se on pois käytöstä. Jokainen bitti konfiguraatiorekisterissä vastaa jotain toimintoa. Kuten esimerkiksi I/O-porttia tai LCD-näytön jotain asetusta. Jokaisen konfiguraatiorekisterin kaikki 24-bittiä lasketaan yhteen hexadesimaalisena. Saadut arvot ilmoitetaan ohjelman `config.h`-tiedostossa, joka sisällytetään pääohjelmaan.

Konfiguraatiorekisterit ilmoitetaan `config.h`-tiedostossa seuraavalla tavalla:

```
equal 0x2C828A ; Config Register 0
```

Tässä luku `0x2C828A` on yhteenlaskettu hexadesimaalinen luku konfiguraatiorekisteri 0:sta.

Konfiguraatiorekisterin arvoja voidaan muuttaa kesken pääohjelman tai pelkästään config.h-tiedostossa. Pääohjelmassa muuttaminen onnistuu esimerkiksi bitin muuttamisella nolasta ykköseksi ja toisinpäin. Tai sitten muuttaa suoraan koko hexadesimaalisen luvun seuraavalla tavalla:

```
ramadr      config_reg_0
move r,      0x378280 ;Config Register 0
```

Tässä konfiguraatiorekisteri 0:aan muutetaan koko luku.

Bitin muuttaminen tapahtuu komennolla bitset. Jos haluaa bitin kokonaan nolaksi, käytetään komentoa bitclr. (Acam 2012b, 88 – 101.)

8.2 SPI-väylän ohjelmointi

SPI-väylän ohjelmointi tapahtuu hexadesimaalisilla komennoilla. Kun halutaan PS081-mikroprosessori SPI-tilaan, SPI_ENA-pinni pitää asettaa ylätilaan. SPI-ohjelma aloitetaan resetoimalla kortti käskyllä 0xF0. Tämän käskyn nimi on power reset. Sitten asetetaan vahtikoira pois päältä komennolla 0x09.

Sitten konfiguroidaan RAM-muisti. Se tapahtuu komennolla 0x00, joka tarkoittaa RAM Write:ä, eli muistiin kirjoitusta.

Tässä kohdassa täytyy kirjoittaa RAM-muistiin osoitevälille 48 – 66. Konfiguroinnin jälkeen alustetaan kortti komennolla 0xC0 (Init Reset) ja aloitetaan uusi sykli komennolla 0xCC (Start new cycle).

Tämän jälkeen SPI_D0-pinni pitää niin sanotusti ”pollata” eli tehdä jatkuvaa silmukkaa, jossa kortti tarkistaa onko pinni valmiina. Uusi lähetävä data saadaan lähetettyä, kun SPI_D0 menee tilasta yksi tilaan nolla. Kun SPI_D0 menee tilasta yksi tilaan nolla, tällöin pinni SPI_CS täytyy asettaa myös tilasta yksi tilaan nolla. Näin SPI-yhteys saadaan toimimaan. Sitten mittaustulos luetaan RAM-muistin osoitteesta nolla komennolla 0x40 (Ram Read). (Acam 2012b, 75 – 81.)

8.3 Mittausohjelma

Acam Picostrain PS081 -venymäliuskakortin mukana tulee kattava esimerkkiohjel-misto venymäliuskamittauksiin ja muihin kortilla tehtäviin mittauksiin. Jos käyttää lait-teen omaa venymäliuska-anturia, siihen löytyy valmiita esimerkkiohjelmia. Tässä työssä käytettävän SPI-väylän esimerkkiohjelmaa ei tule kortin mukana, vaan se pi-tää itse ohjelmoida.

8.4 Mittausohjelman rakenne

Toimiva mittausohjelma koostuu monesta osasta. Aluksi asetetaan CONST-muuttujat. Sitten aloitetaan itse ohjelma, jossa ensimmäiseksi asetetaan laite käyn-nistymään resetestä funktiossa `rst_pwr_check`. Tämän jälkeen mennään prog-ram_entry-funktioon, jossa määritetään, mihin funktioon mennään seuraavaksi. Täs-sä tarkistetaan, mikä bitti on käytössä. Jos bitti on yksi, tila on alustustilassa. Jos bitti on kaksi, mennään mittausfunktioon. Bitti nollalla mennään sleep-tilaan.

Seuraavaksi hypätään valittuihin funktioihin, joita on siis init-funktio, jossa asetetaan kaikki data ja mittausfunktio, jossa suoritetaan mittaus. `Get_initial_offset`-funktiossa otetaan mittaukselle alkuarvo. Ohjelmaan voidaan sisällyttää myös automaattinen käynnistyminen `auto_on`-funktioilla. `Display`-funktiossa näytetään mitattu data laitteen LCD-näytöllä. `Get_initial_offset`-funktioita varten täytyy laskea mitatun datan mediaani erillisissä median-funktioissa.

Ohjelman tärkein funktio on `measurement`-funktio, jossa suoritetaan varsinainen mit-taus. Mitattu arvo tallentuu `result_HB0`-muuttujaan, joka sijaitsee rekisterissä 20. `Measurement`-funktiossa suoritetaan tarvittavat laskut, jotta mitatusta luvusta saatai-siin järkevä. Kun luku on muutettu oikeaan muotoon, se tallennetaan muuttujaan `last_display_value`. Tämä muuttuja voidaan suorittaa `display`-funktiossa ja näyttää laitteen LCD-näytöllä. Konfiguraatiorekisteriin täytyy asettaa myös oikeat asetukset, jotta ohjelma toimisi oikein. Nämä asetukset menevät `config`-tiedostoon. Liitteessä 1 on esillä voimanmittauksen esimerkkiohjelma.

9 MSP430-MIKROKONTROLLERI

MSP430-mikrokontrolleria käytettiin tässä työssä värähtelyn mittauksessa ja langattomassa tiedonsiirrossa. Texas Instrumentsin MSP430 -mikrokontrollerit ovat vähävirtaisia 16-bittisiä mikroprosessoreita. Prosessorit perustuvat helppokäyttöiseen RISC-arkkitehtuuriin. MSP430-mikrokontrolleri sisältää muun muassa seuraavia asioita:

- 10/12-bittinen AD-muunnin
- komparaattori
- DMA (Direct Memory Access)
- ajastimia
- liitännät: SPI, UART, I²C
- I/O - pinnien määrä välillä 14 – 113.

Lisäksi jotkin MSP430-mallit sisältävät myös muita ominaisuuksia.

MSP430-mikrokontrollerin kellotaajuus on 8 – 25 MHz riippuen mallista. Muisti on Flash- tai RAM-muistia. Flash-muistin koko on 0.5 – 256 kB ja RAM-muistia voi olla 128 B – 18 kB. Tässä työssä käytetty MSP430-malli FR5739 sisältää FRAM-muistia. FRAM-muisti on huomattavasti nopeampaa kuin Flash-muisti. FRAM-muistin tiedonsiirtonopeus voi olla 2 MB/s, kun taas Flash-muistin siirtonopeus voi olla maksimissaan 12 kB/s. FRAM-muistin koko on 8 – 16 kB riippuen mallista. MSP430-mikrokontrollerit ovat hyvin vähävirtaisia laitteita. Ne sisältävät erilaisia virransäästötiloja (LPM), jotka voivat keskeytyksien avulla sammuttaa prosessorin, kun sitä ei tarvita. (Texas Instruments 2012a, 2 – 12.)

Tässä työssä käytettiin Texas Instrumentsin valmistamaa MSP430FR5739-mikrokontrolleria (kuva 11). Se sisältää 10-bittisen AD-muuntimen sekä edellä mainitun FRAM-muistin. FRAM-muistin koko on 16 kt. Kontrollerissa on liitäntä WLAN-moduulille, jota tarvitaan tässä työssä. Tässä MSP430-kortissa on sisäänrakennettu myös kiihtyvyysanturi. (Texas Instruments 2012b.)

MSP430FR5739-mikrokontrollerin maksimi kellotaajuus on 24 MHz. Kuitenkin FRAM-muistia käytettäessä kellotaajuus on pudotettava 8 MHz:iin tai muuten tiedonsiirtoon tulee viiveitä. Tässä työssä on tärkeää, että laitteet ovat vähävirtaisia ja sen takia on hyvä tietää jotain laitteiden virrankulutuksista. Valmistajan ilmoittama virrankulutus on 81.4 μ A / MHz. Kun käytetään 24 MHz:a ja RAM-muistia, virrankulutus on tyypillisesti 1,45 – 1,75 mA. FRAM-muistin kanssa kulutus on n. 2,2 mA. LPM0-virransäästötilassa virrankulutus on 175 μ A, kun lämpötila on 25 °C. Kun käytetään LPM2-, LPM3- tai LPM4-tiloja, virtaa kuluu 5,9 – 80 μ A. Kaikkein vähävirtaisimmat

tilat ovat LPM3.5 ja LPM4.5. Näissä virtaa kuluu $1,5 - 2,2 \mu\text{A}$ ja $0,32 - 66 \mu\text{A}$. (Texas Instruments 2012c, 1 & 46 – 48.)



KUVA 11. MSP430FR5739 (Texas Instruments 2012b)

10 WLAN-MODUULI CC3000 TIWI-SL

Työssä käytettiin LS Researchin valmistamaa WLAN-moduulia CC3000 TiWi-SL. Moduuli on IEEE 802.11 b/g -yhteensopiva ja maksimitiedonsiirtonopeus on 54 Mbps. Moduulissa on SPI-liitäntä, jolla se liitetään mikrokontrolleriin. WLAN-moduuli on kiinnitetty omaan alustaansa, jossa on antenni ja kiinnityspinnit MSP430FR5739-mikrokontrolleriin. Moduuli ja alusta ovat esillä kuvassa 12. (LS Research 2012, 1 & 20.)



KUVA 12. TiWi-LS-WLAN –moduuli (Texas Instruments Processors Wiki 2012a)

11 MSP430FR5739-OHJELMOINTI

Tässä osiossa käydään läpi MSP430-sarjan mikrokontrollerin MSP430FR5739:n ohjelmointia.

MSP430-prosessorikortin ohjelmointi voidaan tehdä Code Composer Studio -ohjelmalla tai IAR Kickstart -ohjelmalla. Ohjelmointikielinä voi käyttää C:tä tai Assemblia. Ohjelmointikielenä käytettiin C:tä, koska se on tutumpi ja helppokäyttöisempi.

Tässä työssä oli tarkoituksena opetella ohjelmoimaan MSP430-kortin SPI-väylää ja AD-muunninta. Lisäksi piti opetella DMA:n ja ajastimen käyttöä. MSP430-mikrokontrolleri sisältää myös muita ohjelmoitavia ominaisuuksia, mutta niitä ei tässä työssä tarvittu.

11.1 I/O-porttien ohjelmointi

MSP430-prosessorikortin I/O-pinnejä ohjataan I/O-rekistereillä. Ohjaus tapahtuu asettamalla rekisterin biteille haluttu arvo. Esimerkiksi pinnien sisään- ja ulostuloja ohjataan PxIN- ja PxOUT -rekistereillä. Jos halutaan bitti käyttöön eli tila ylös, niin asetetaan bitille arvo yksi. Bitille asetetaan arvo nolla, kun halutaan bitti pois käytöstä eli bitin tila alas. Muita I/O-porttien ohjausrekistereitä on:

PxDIR = bitin suunnan valinta. 0 = sisääntulo, 1 = ulostulo

PxREN = ylös- tai alasvetovastuksen valinta

PxSEL0 ja PxSEL1 = funktion valintarekisterit

PxIFG = portin keskeytysrekisteri

PxIE = keskeytyksen valinta

PxIES = keskeytyksen reunan valintarekisteri

PxIV = keskeytysvektori.

MSP430-prosessorikortin pinnit voidaan ilmaista kahdella tavalla, kun niitä ohjelmoidaan. Esimerkiksi pinni 1 voi olla joko BIT1 tai hexadesimaalisena 0x001.

Esimerkki pinnin suunnan valinnasta:

P1DIR |= BIT1;

Tässä merkki |= tarkoittaa OR-operandia, joka asettaa bitin ykköseksi. (Texas Instruments 2012d, 275 – 277.)

11.2 SPI-väylän ohjelmointi

MSP430-mikrokontrollerissa on yleensä kaksi SPI-väylää. Nämä ovat nimeltään eUSCI_A ja eUSCI_B. MSP430-sarjan mikrokontrollerien käskyt ja rekisterit eroavat vähän toisistaan. Tässä työssä perehdytään MSP430FR5739-mikrokontrollerin SPI-väylän ohjelmointiin. Mikrokontrolleri voidaan asettaa SPI-väylän isännäksi tai orjaksi.

SPI-väylän ohjelmoinnissa käytetään SPI-väylän ohjausrekistereitä UCA0CTLW0 ja UCB0CTLW0. SPI-väylä käyttää MSP430-kortin normaaleja pinnejä, mutta pinnit on kuitenkin nimetty erilailla kuin normaalisti. SPI-pinnit ovat UCxSIMO, UCxSOMI, UCxCLK ja UCxSTE.

Isäntätilassa UCxSIMO-bitti on ulostulolinja ja orjatilassa sisääntulolinja. UCxSOMI-bitti taas on isäntätilassa sisääntulo ja orjatilassa ulostulo. UCxCLK-bitti eli kellosignaali on isäntätilassa ulostulo ja orjatilassa sisääntulo. UCxSTE-bittiä käytetään neljän johdon kytkennässä, jos tarvitaan monta isäntä- tai orjakorttia. UCxSTE-bitillä kytketään orjakortin datansiirto päälle.

Datan siirrossa käytetään datasiirto-puskuria UCxTXBUF. Dataa siirrettäessä data-siirtopuskurissa oleva tieto siirtyy datarekisteriin TX. Puskurista siirretyn datan ilmaisee siirtokeskeytyslippu UCTXIFG. Datan vastaanottopuskuri on nimeltään UCxRXBUF. Siinä on myös samanlainen keskeytyslippu vastaanotetulle datalle nimeltään UCRXIFG. (Texas Instruments 2012d, 458 – 460.)

11.2.1 Neljän ja kolmen pinnin isäntätila

SPI-tilaksi voidaan valita neljän tai kolmen pinnin SPI-tila. Neljän pinnin tiloja on olemassa kaksi erilaista. Pinnin tila asetetaan rekisterillä UCSTEM. Jos rekisterin arvoksi asetetaan yksi, niin pinnit UCxSIMO ja UCxCLK ovat sisäänmenoja. Tässä tilassa datan siirto riippuu UCxSTE-pinnistä.

Toisessa neljän pinnin tilassa UCSTEM rekisterin arvo asetetaan nolaksi. Tässä tilassa orjakortin datansiirron toimintaan kytkevä signaali menee automaattisesti toimintatilaan. Kolmen pinnin isäntätila on muuten sama, kuin neljän pinnin tila, mutta siinä ei käytetä orjan valitsemiseen käytettävää UCxSTEM-pinniä. (Texas Instruments 2012d, 461 – 462.)

11.2.2 Neljän pinnin orjatila

Orjakortti saa isäntäkortilta signaalin UCxSTEM-pinnistä ja silloin orjakortin datansiirto kytkeytyy päälle. USCI-moduuli kytketään päälle nollaamalla UCSWRST-bitti. Kun tämä on tehty, USCI on valmis datansiirtoon ja vastaanottoon. Isäntätilassa kellosignaali on valmis ja orjatilassa se on pois päältä. Kellosignaali valitaan UCSSELx-bitillä ja se tuotetaan eUSCI-bitin kellogeneraattorissa. (Texas Instruments 2012d, 462.)

11.2.3 SPI-väylän alustus

SPI-väylän alustus aloitetaan määrittämällä pinnit. Kolmen pinnin tilassa käytetään sisään- ja ulostuloa sekä kellosignaalia. Neljän pinnin tilassa käytetään näiden lisäksi orjan aktivointipinniä. Yleisimmin MSP430-mikrokontrollerin SPI-väylän ulostulona käytetään pinniä 2.0 ja sisääntulona 2.1. Kellosignaali-pinninä voidaan käyttää esimerkiksi pinniä 1.5.

Pinnien määrittämisen jälkeen aloitetaan komentojen asettaminen SPI-väylän rekistereihin. Ensimmäisenä on hyvä asettaa SPI-väylä toimimaan mikrokontrollerin reset – painikkeesta. Tämä tapahtuu komennolla UCSWRST. Sitten asetetaan SPI-väylälle haluttu tila, joko kolmen pinnin tai neljän pinnin SPI-tila. Samalla voidaan asettaa SPI-väylä synkroniseksi komennolla UCSYNC. Ja jos halutaan, että SPI-väylä lähettää ensimmäisenä eniten merkitsevän bitin, asetetaan komento UCMSB. SPI-väylän kelon toiminta asetetaan komennolla UCSSELx.

Muita SPI-väylän komentoja ovat:

- UCA0BR0 = bitin suhteen valinta
- UCA0MCTLW = modulaation valinta.

SPI-väylässä kannattaa käyttää keskeytysperiaatetta. MSP430-mikrokontrolleriin tämä asetetaan keskeytysrekisteriin UCAXIE tai UCBxIE. Keskeytysrekisteriin asetetaan joko lähetyskeskeytys tai vastaanottokeskeytys. Lähetyskeskeytys on nimeltään UCTXIE ja vastaanotto UCRXIE. (Texas Instruments 2012d, 462 – 470.)

11.3 SPI-väylän lähetys ja vastaanotto

Kun alustukset on saatu tehtyä, siirrytään datan lähettämiseen ja vastaanottoon. Lähetys ja vastaanotto voidaan toteuttaa tavallisessa funktiossa tai keskeytysrekisterin avulla toteutetussa funktiossa. Molemmissa tavoissa käytetään keskeytyspalvelulippua UCAxIFG, mutta eri tavoin. Keskeytyslippurekisterin lisäksi tarvitaan lähetys- tai vastaanottokeskeytysliput. Normaalissa funktiossa tehdään while-silmukka, joka toteutuu, jos lähetys- tai vastaanottopuskuri on valmis. Tämä voidaan toteuttaa seuraavalla tavalla:

```
while (!(UCA0IFG&UCTXIFG));
```

Tässä silmukka toteutuu, jos keskeytyslippurekisteri UCA0IFG ja lähetyksen keskeytyslippu UCTXIFG ovat nollija. Kun silmukka toteutuu, voidaan mennä eteenpäin. Sitten data saadaan siirrettyä SPI-väylään, kun määritetään, että lähetyspuskuri on sama kuin lähetettävä data. Tämä tehdään seuraavalla tavalla:

```
UCA0TXBUF = TXData;
```

Tässä UCA0TXBUF on lähetyspuskuri ja TXData on haluttu lähetettävä data.

Vastaanotto tapahtuu samalla tavalla, mutta siinä käytetään vastaanoton keskeytyslippua while-silmukassa. Lisäksi lähetyspuskurin sijaan käytetään UCA0RXBUF-vastaanottopuskuria.

Toinen vaihtoehto lähettämiseen ja vastaanottoon on keskeytysvektorirekisterin käyttäminen. Tässä vaihtoehdossa prosessori menee niin sanottuun virransäästötilaan erilliseen funktioon. Aina kun tarvitaan uusi lähetys tai vastaanotto, prosessori kytkeytyy toimintatilaan. Ohjelma menee tähän funktioon komennolla `__bis_SR_register(LPM0_bits+GIE)` ja tulee pois komennolla `__bic_SR_register_on_exit(CPUOFF)`.

Tätä funktiota kutsutaan ISR-funktioksi. Siellä ohjelma valitsee niin sanotun kytkimen avulla, mikä suoritus tehdään seuraavaksi. SPI-väylässä toimintoja on kaksi, lähetys ja vastaanotto. (Texas Instruments 2012d.)

11.4 AD-muuntimen ohjelmointi

MSP430-mikrokontrolleri sisältää 10- tai 12-bittisen AD-muuntimen. AD-muuntimen moduulin nimi on ADC10_B tai ADC12_B. MSP430-kortin AD-muuntimen ohjausrekisterit ovat nimeltään ADC10CTL0, ADC10CTL1 ja ADC10CTL2. Jos AD-muunnin on 12-bittinen, rekisterin nimessä on luku 12 luvun 10 sijaan. AD-muunnin kytketään toimimaan komennolla ADC10ON. Muunnos saadaan käyntiin komennolla ADC10ENC, ja muunnettu data tallentuu ADC10MEM0-rekisteriin.

Muunnoksen kaava muunnetulle dataalle N_{ADC} saadaan laskettua kaavalla 10.

$$N_{\text{ADC}} = 1023 \times \frac{V_{\text{in}} - V_{R-}}{V_{R+} - V_{R-}} \quad (10)$$

Tässä V_{R+} ja V_{R-} ovat valittavissa olevat jänniterajat, joilla asetetaan muunnoksen ylä- ja alarajat (Texas Instruments 2012d, 396 – 398.)

11.4.1 AD-muuntimen alustus

AD-muuntimen ohjelmointi aloitetaan asettamalla halutut asetukset AD-muuntimen rekistereihin. Ensimmäisenä varmistetaan, että komento ADC10ENC on tyhjennetty. Sitten määritetään AD-muunnin toimintakuntoon komennolla ADC10ON ja asetetaan haluttu syklien lukumäärä muunnoksessa komennolla ADC10SHTx. Kirjain x komennon perässä merkitsee tiettyä numeroa, joka halutaan asettaa. Numero on binäärinen luku, joka merkitsee eri vaihtoehtoa ja toimintoa tietylle komennolle. Nämä edellä mainitut komennot asetetaan ohjausrekisteriin ADC10CTL0.

ADC10CTL1-rekisteriin asetetaan seuraavat komennot:

- ADC10SHSx: muunnoksen lähteen valinta
- ADC10SHP: muunnoksen pulssin valinta
- ADC10CONSEQx: muunnoksen järjestyksen valinta
- ADC10SSELx: kellon valinta.

ADC10CTL2-rekisteriin asetettavat komennot:

- ADC10RES: muunnoksen resoluution valinta.

Ohjausrekistereihin voidaan asettaa myös muita komentoja, mutta edellä mainitut ovat yleisimmät ja tärkeimmät.

Ohjausrekistereiden lisäksi MSP430-mikroprosessorissa on myös muunnoksen muistirekisteri. Sinne asetetaan muunnoksen referenssijännite komennolla ADC10SREFx ja muunnoksen sisääntulokanavat komennolla ADC10INCHx. Jos halutaan käyttää keskeytyspalvelua, asetetaan komento ADC10IE.

(Texas Instruments 2012d, 398 – 401.)

11.4.2 AD-muuntamisen ohjelmointi

Kun alustukset on tehty, voidaan aloittaa AD-muuntaminen. Tämä voidaan tehdä normaalisti ikisilmukassa tai keskeytysperiaatteen mukaan. Normaalilla tavalla tehtäessä muunnos aloitetaan komennolla ADC10ENC. Lisäksi samalla asetetaan komento ADC10SC, joka aloittaa varsinaisen muunnoksen. Näiden jälkeen tehdään while-silmukka, jossa on AD-muuntimen keskeytysrekisteri ADC10IFG ja komento ADC10IFG0, joka indikoi, onko muunnos valmis. Kun nämä molemmat ovat nollia, muunnos on valmis ja silmukan ehto toteutuu. Seuraavana esimerkki tästä silmukasta:

```
while ((ADC10IFG & ADC10IFG0)==0);
```

Kun ehto on toteutunut, AD-muunnettu data on AD-muuntimen muistirekisterissä ADC10MEM0. While-silmukkaan voidaan valita myös toiset rekisterit, joilla indikoidaan muunnoksen tilaa. ADC10BUSY-komento kertoo muunnoksen tilan.

Toinen tapa tehdä muunnos on käyttää keskeytysperiaatetta. AD-muuntimen keskeytysbitti ADC10ISR kytkeytyy automaattisesti, kun muunnos on ladattu ADC10MEM0-rekisteriin. MSP430-mikrokontrolleri siirtyy näin ollen vähävirtaiseen tilaan ja kytkeytyy pois siitä komennolla __bis_SR_register(CPUOFF + GIE). Prosessori kytkeytyy taas käyntiin, kun suoritetaan uusi muunnos. Niin sanotun kytkimen avulla määritetään, mikä toiminto suoritetaan. Tässä tapauksessa kytkin valitsee eri keskeytyslipun AD-muunnokselle. (Texas Instruments 2012d.)

11.5 DMA-ohjelmointi

DMA:n avulla voidaan siirtää tietoa osoitteesta toiseen ilman prosessoria. Esimerkiksi AD-muunnoksen tulokset voidaan siirtää suoraan RAM-muistiin. DMA-ohjain sisältää kahdeksan eri kanavaa, joita voidaan käyttää tiedon siirtämiseen paikasta toiseen.

DMA-ohjain sisältää neljä erilaista käsittelytilaa, joilla määritetään, miten data siirretään. Näitä ovat:

- kiinteästä osoitteesta kiinteään osoitteeseen
- kiinteästä osoitteesta lohkon osoitteeseen
- lohkon osoitteesta kiinteään osoitteeseen
- lohkon osoitteesta lohkon osoitteeseen.

Käsittelytiloja ohjataan DMASRCINCR- ja DMADSTINCR-ohjausbiteillä. DMASRCINCR-bitillä valitaan, onko lähdeosoite suurennettu, pienennetty vai ennallaan. DMADSTINCR-bitillä tehdään samat asiat, mutta kohdeosoitteelle.

DMA:ssa on kuusi erilaista siirtotilaa. Näitä ovat:

- yksittäinen siirto
- lohkosiiro
- purske-lohkosiiro
- jatkuva yksittäinen siirto
- jatkuva lohkosiiro
- jatkuvan purskeen -lohkosiiro.

Siirtotila valitaan DMADT-rekisterillä. DMA:n liipaisin valitaan DMAxTSEL-komennolla. Liipaisimena voi toimia esimerkiksi AD-muunnin, joka kytkee DMA:n toimimaan, kun muunnos on valmis.

DMA kytketään toimintakuntoon DMAEN-komennolla ja sammutetaan myös samalla komennolla. Rekisterin tila vaihdetaan tilasta yksi tilaan nolla. DMA:lle on myös olemassa keskeytyspalvelu ja se kytketään DMAIE-rekisterillä. (Texas Instruments 2012d, 250 – 269.)

11.6 Ajastimen ohjelmointi

Ajastinta tarvitaan, jotta ohjelmassa olevia asioita voidaan suorittaa ja lopettaa oikeaan aikaan.

MSP430 sisältää kaksi eri ajastinta Timer_A ja Timer_B. Molemmat moduulit sisältävät samat ominaisuudet ja rekisterit. Ajastinta voidaan käyttää tallennuksessa, vertailussa, laskurina ja ulostulon PWM:n ohjauksessa. Ajastinta voidaan käyttää myös keskeytysperiaatteella.

Timer-moduulit sisältävät neljä rekisteriä, joihin komennot asetetaan. Rekisterit ovat:

- ohjausrekisteri TAxCTL
- laskentarekisteri TAxR
- kaappaus-vertailurekisteri TAxCCCTLn
- keskeytysvektorekisteri TAxIV.

Ohjausrekisteriin asetetaan muun muassa ajastimen kellon lähde komennolla TASEL. Muita komentoja ovat MC, TACLR ja TAIE. MC-komennolla asetetaan ajastimen tila ja TACLR-komennolla nollataan ajastin. TAIE-komennolla asetetaan keskeytys käyttöön ja pois käytöstä.

Ajastimen aika asetetaan komennolla TA0CCR0. MC-komennolla asetetaan, onko laskuri ylöspäin tai alaspäin laskeva. Laskuri voi olla myös jatkuvassa tilassa.

Kaappaus-vertailurekisteriin voidaan asettaa esimerkiksi kaappaustila ja ulostulon tila. Tällä rekisterillä voidaan siis ohjata ulostuloa komennolla OUTMOD.

(Texas Instruments 2012d, 310 – 327.)

12 MSP430-MIKROKONTROLLERIN AD-MUUNTAMINEN

Tässä työssä yksi tärkeimmistä asioista on AD-muuntaminen. Sensoreilta saatu signaali on analogista ja se täytyy muuntaa digitaaliseksi, jotta sitä voidaan jatkokäsitellä. Tämän takia työssä keskityttiin paljon AD-muuntamiseen. Lisäksi AD-muuntamisesta oli saatava riittävän nopeaa. Tavoitteena oli saada vähintään 10 kilonäytettä sekunnissa tapahtuvaa muunnosta. Muunnoksen oli vielä tapahduttava kolmelta eri kanavalta. Vaikka tavoitteena oli käyttää virransäästö-ominaisuuksia, niitä ei työssä käytetty.

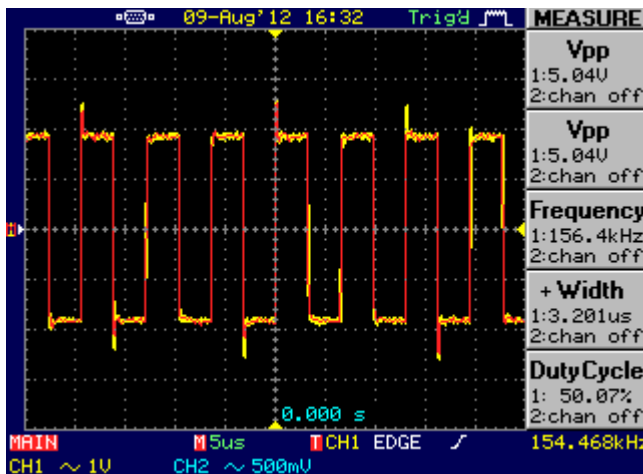
12.1 Muunnos yhdeltä kanavalta

Kun AD-muuntimen toiminta oli opiskeltu, alettiin tehdä AD-muuntamista MSP430-mikrokontrollerilla. AD-muunnosta voidaan tehdä useammalta kanavalta samanaikaisesti, mutta aluksi muunnosta tehtiin vain yhdeltä kanavalta. Testiohjelmasta tehtiin hyvin yksinkertainen ohjelma, joka tekee jatkuvaa AD-muuntamista ikisilmukassa. Ohjelman aluksi asetetaan AD-muuntimelle oikeat asetukset ja sen jälkeen on while-silmukka, jossa tapahtuu AD-muunnos. Tässä tapauksessa käytettiin erillistä TakeAdcMeas-funktiota, joka pyörii ikisilmukassa (kuvio 13).

```
void TakeAdcMeas(void)
{
    ADC10CTL0 |= ADC10ENC | ADC10SC;
    while ((ADC10IFG & ADC10IFG0)==0);    // onko muunnos valmis?
    P1OUT ^= BIT0;
}
```

KUVIO 13. AD-muunnoksen funktio

Ensiksi muunnos käynnistetään ADC10ENC- ja ADC10SC-komennoilla ja sitten ADC10IFG0-rekisterin avulla todetaan, onko muunnos valmis. MSP-kortin sisääntulopinni yksi vaihtaa tilaa aina, kun muunnos on valmis. Tämän avulla voidaan seurata muunnosnopeutta oskilloskoopilla. Saatu muunnosnopeus on esillä kuvassa 14. Liitteessä 2 on esillä esimerkkiohjelma AD-muuntamisesta.



KUVA 14. AD-muuntimen muunnosnopeus

Asetuksista muunnosnopeudeksi saatiin 150 - 200 kilonäytettä sekunnissa.

12.2 AD-muunnos useammalta kanavalta

Tarkoituksena oli saada AD-muunnettua kolmelta eri kanavalta, mitä varten ohjelmaan piti tehdä joitain muutoksia. I/O-pinnit täytyi määrittää kolmelle sisääntulolle ja AD-muuntimen sisääntulokanavien määrä piti nostaa. Useamman kanavan muunnos on esillä tämän työn luvussa 14.

12.3 AD-muunnoksen lähetys SPI-väylään

Työssä kokeiltiin myös muunnoksen lähettämistä SPI-väylään. Ohjelmaan piti määrittää SPI-väylän pinnit SIMO, SOMI ja CLK. Tässä tapauksessa käytössä oli vain ulostulopinni SIMO. Tämän jälkeen ohjelmaan lisätään SPI-väylän vaatimat asetukset ja lähetysfunktio, joka lähettää muunnoksen SPI-väylään.

Yksikertaisimmillaan SPI-väylän lähetysfunktio näyttää tältä:

```
TXData = ADCResult;
while (!(UCA0IFG&UCTXIFG));           // Onko USCI_A0 TX puskuri valmis?
UCA0TXBUF = TXData;                    // Lähetetään data
```

Ensiksi määritellään, että lähetettävä data on AD-muunnoksen tulos. Sitten tarkastetaan, onko lähetyspuskuri valmis ja sen jälkeen data lähetetään puskuuriin.

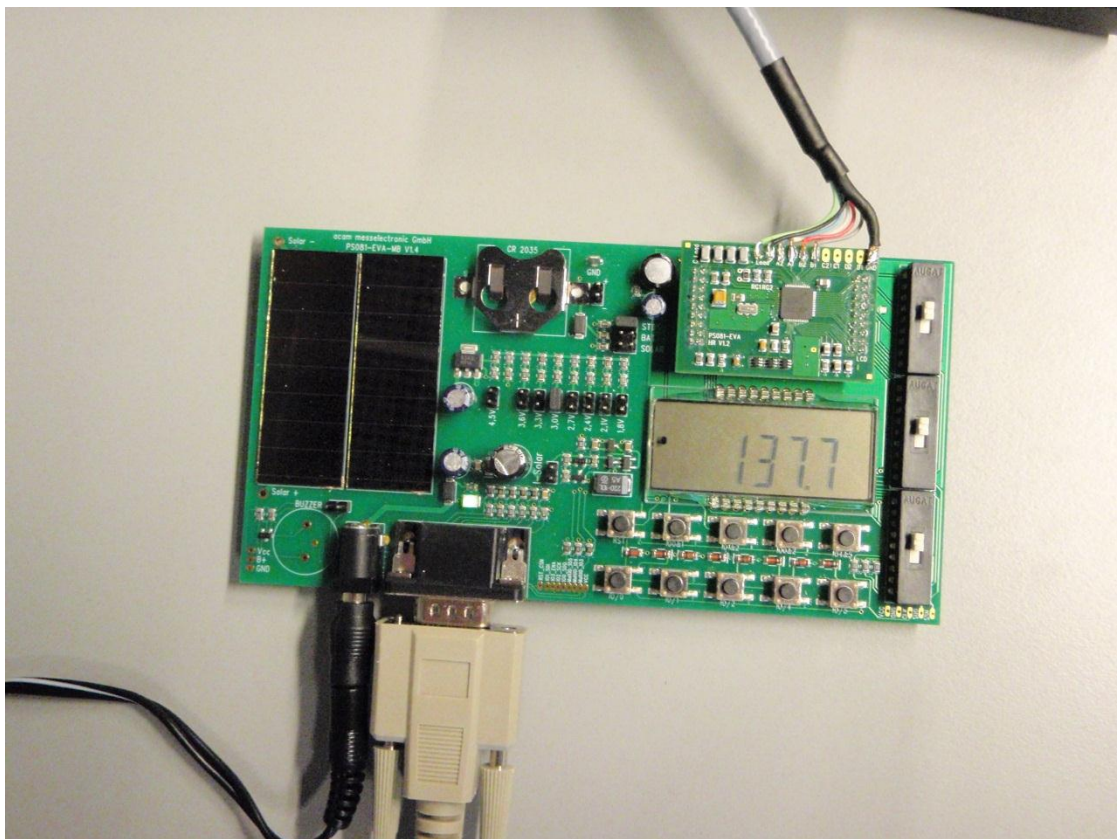
Liitteessä 3 on esimerkkiohjelma AD-muunnoksen lähettämisestä SPI-väylään.

13 LAITTEEN KUVAUS

Työn tarkoituksena oli tehdä mittauslaitteisto siltojen kunnonvalvontaa varten. Laitteisto mittaa voimaa, räsitusta ja värähtelyä sekä lähettää datan eteenpäin langattomasti. Laitteen tuli olla pienikokoinen ja vähävirtainen. Data tuli saada lähetettyä reaaliaikaisesti tietokoneelle datankeräysohjelmaan.

14 VENYMÄLIUSKAOHJELMAN TESTAUS

Picostrain PS081 -venymäliuskaprosessorikortin mukana tulee kattava ohjelmisto venymäliuskamittauksia varten. Tämän raportin liitteessä 1 on esimerkki mittausohjelmasta, joka käyttää venymäliuskakitin kuormituskennoa voiman mittaamiseen. Ohjelma mittaa kuormituskennoon aiheutuvat painallukset ja näyttää tuloksen PS081-kortin LCD-näytöllä. Kuvassa 15 on esillä mittaustilanne, jossa mitattu tulos näkyy LCD-näytöllä.



KUVA 15. Venymäliuskaohjelman testaus

15 AD-MUUNNOKSEN LÄHETYS LANGATTOMASTI MSP430-MIKROKONTROLLERILLA

Tarkoituksena oli saada mitattua värähtelyä kiihtyvyysanturilla ja lähettää saatu data langattomasti tietokoneelle. Ensiksi keskityttiin AD-muunnoksen lähetykseen, jotta langaton lähetys saataisiin toimimaan. Tavoitteena oli saada tehtyä vähintään 10 kHz:n näytteenottoa kiihtyvyysantureilta ja lähettää se eteenpäin. MSP430-mikrokontrolleri kykenee muuntamaan yhdeltä kanavalta yli 200 kilonäytettä sekunnissa. Oikeilla AD-muuntimen asetuksilla maksiminopeus voidaan saavuttaa. 3-akselinen kiihtyvyysanturi sisältää kolme kanavaa, joten muuntamisen on tapahduttava kolmelta eri kanavalta. Näin ollen muunnosnopeus on jaettava kolmella, jotta saadaan todellinen nopeus.

15.1 MSP430FR5739-mikroprosessorin ohjelma

Työssä käytettiin MSP430FR5739-mikroprosessorille tehtyä WLAN-moduulia. Texas Instrumentsin sivuilta löytyy kattava ohjelmistopaketti tälle moduulille. Tämän työn kannalta sivuilta löytyi datalogger-ohjelma, joka kerää dataa kiihtyvyysanturilta. Ohjelma lähettää kiihtyvyysanturin dataa tietokoneella olevalle ohjelmalle ja tallentaa datan tekstitiedostoon. Datalogger-ohjelma koostuu WLAN-lähetysosasta ja AD-muunnoksen osasta. MSP430-kortille tuleva valmis ohjelma olisi muuten sopinut suoraan tähän tarkoitukseen, mutta siinä tapahtuva AD-muuntaminen oli oletuksena aivan liian hidasta. Ohjelma ottaa oletuksena AD-muunnosta yhden millisekunnin välein ja tällä viiveellä päästään noin 1 kHz:n näytteenottotaajuuteen. Alun perin ohjelma käyttää kortin omaa sisäänrakennettua kiihtyvyysanturia ja tämä yhden kilohertsin näytteenottotaajuus sopii sille.

Lisäksi kyseinen ohjelma käyttää myös lämpötilamittausta. Lämpötilamittausta varten ohjelma käyttää FR5739-mikrokontrollerin FRAM-muistia. Kun tätä muistia käytetään, prosessorin kellotaajuuden on oltava maksimissaan 8 MHz. Näin matalalla kellotaajuudella ei voida tehdä kovin nopeaa AD-muuntamista. (Texas Instruments Processors Wiki 2012b.)

Koska tarkoituksena oli saada mahdollisimman nopeaa AD-muunnosta, ohjelmaan oli tehtävä muutoksia. Ohjelmasta poistettiin lämpötilanmittausfunktiot ja kellotaajuus nostettiin maksimiin eli 24 MHz:iin. Lisäksi ajastimen viive asetettiin mahdollisimman pieneksi. AD-muuntimen asetukset asetettiin myös erilailla. Alun perin ohjelma käytti

erilaisia virransäästöfunktioita. Jotta päästään tarpeeksi suuriin nopeuksiin, nämä virransäästöominaisuudet pitää poistaa.

15.2 Sisääntulopinnien asetukset

Datalogger-ohjelma käyttää oletuksena siis kiihtyvyyssanturin asetuksia. Tässä työssä keskityttiin ensiksi enemmän AD-muuntamiseen, joten kiihtyvyyssanturin sijaan käytettiin signaaligeneraattoria tuottamaan signaalia. Samat asetukset käyvät myös kiihtyvyyssanturille.

Kiihtyvyyssanturi tarvitsee toimiakseen kolme sisääntulopinniä kolmea akselia varten ja yhden virtapinnin anturin käyttöjännitettä varten. Kiihtyvyyssanturissa on siis x, y ja z-akselit. Tässä työssä käytettiin MSP430-kortin 3.0, 3.1 ja 3.2 pinnejä sisääntuloina anturin akseleille. Anturin virtapinni on kortin pinni 2.7.

Anturin akselien pinnit määritellään seuraavalla tavalla:

```
#define ACC_PORT_SEL0    P3SEL0
#define ACC_PORT_SEL1    P3SEL1
#define ACC_X_PIN        BIT0
#define ACC_Y_PIN        BIT1
#define ACC_Z_PIN        BIT2
```

Pinnit otetaan käyttöön seuraavalla tavalla:

```
ACC_PORT_SEL0 |= ACC_X_PIN + ACC_Y_PIN + ACC_Z_PIN;
ACC_PORT_SEL1 |= ACC_X_PIN + ACC_Y_PIN + ACC_Z_PIN;
```

Tässä jokainen kiihtyvyyssanturin akselin sisääntulopinni kytketään toimintakuntoon.

Jos halutaan käyttää kortin sisäänrakennettua kiihtyvyyssanturia, pitää määrittää myös kiihtyvyyssanturin virtapinnit. Myös ulkoiselle kiihtyvyyssanturille pitää määrittää virtapinnit, jos virta otetaan mikrokontrollerilta.

Virtapinnit määritetään seuraavalla tavalla:

```
#define ACC_PWR_PIN      BIT7
#define ACC_PWR_PORT_DIR P2DIR
#define ACC_PWR_PORT_OUT P2OUT
```

Ja otetaan käyttöön:

```
ACC_PWR_PORT_DIR |= ACC_PWR_PIN;
ACC_PWR_PORT_OUT |= ACC_PWR_PIN;
```

15.3 AD-muuntimen asetukset

AD-muuntimelle täytyi asettaa oikeat asetukset, jotta saataisiin mahdollisimman nopeaa muunnosta. AD-muuntimelle täytyy määrittää sisääntulokanavat signaaleita varten seuraavalla tavalla:

```
#define ACC_X_CHANNEL ADC10INCH_12
#define ACC_Y_CHANNEL ADC10INCH_13
#define ACC_Z_CHANNEL ADC10INCH_14
```

AD-muuntimessa käytettiin seuraavia asetuksia:

```
ADC10CTL0 = ADC10SHT_2 + ADC10MSC + ADC10ON;
```

Tässä ADC10SHT_2 tarkoittaa näytteen pitoaikaa. Sillä määritetään kuinka monta kellojaksoa käytetään muunnoksen aikana. Numero kaksi tarkoittaa, että kellojaksoja on käytössä 16. ADC10MSC:lla kytketään moninkertainen näytteistäminen. ADC10ON-komennolla kytketään AD-muunnin toimintakuntoon.

```
ADC10CTL1 = ADC10SHP + ADC10CONSEQ_1;
```

Tässä kytketään pulssimuotoinen muunnos komennolla ADC10SHP. ADC10CONSEQ_1 tarkoittaa taas sitä, että käytetään useita kanavia.

```
ADC10CTL2 |= ADC10RES;
```

Tässä ADC10RES komennolla kytketään 10 bittinen resoluutio.

```
ADC10MCTL0 = ADC10INCH_14;
```

Tässä kytketään käyttöön kaikki 14 kanavaa.

Näillä asetuksilla pitäisi päästä 20 kHz:n näytteenottotaajuuteen, mutta muista asetuksista riippuen muunnosnopeus on paljon enemmän. Varsinainen AD-muunnos

tapahuu ikisilmukassa ja muunnokset otetaan talteen jokaiselta kanavalta erikseen ADC_Result-taulukkoon.

15.4 DMA-asetukset

Jotta AD-muunnos saadaan tarpeeksi nopeaksi, tarvitaan avuksi MSP430-mikrokontrollerin DMA-ohjainta.

Tässä ohjelmassa käytettiin seuraavia asetuksia DMA:lla:

DMACTL0 = DMA0TSEL__ADC10IFG;

Tässä DMACTL0-rekisteriin asetetaan DMA:ssa toimiva AD-muuntimen ADC10IFG liipaisin päälle.

DMA0CTL = DMADT_4 + DMADSTINCR_3 + DMAEN + DMAIE

DMA:n kanavan DMA0CTL-rekisteriin asetetaan DMA:n siirtomuoto ja koko DMA toimimaan. Lisäksi asetetaan DMA:n keskeytyspalvelu.

Komennolla `__data16_write_addr((unsigned short) &DMA0SA,(unsigned long) &ADC10MEM0);` AD-muuntimen tallennusrekisterin tiedot siirretään DMA:n muistiin. Tämä on niin sanotusti DMA:n lähdeosoite.

`__data16_write_addr((unsigned short) &DMA0DA,(unsigned long) &ADC_Result[0]);` on komento, jolla ADC10MEM0:n tiedot siirretään ADC_Result nimiseen taulukkoon. Tällä komennolla siis osoitetaan osoitteen määränpää.

Tässä työssä DMA:ta käytettiin keskeytysperiaatteen mukaan. Aina kun AD-muunnos on valmis, muunnettu data siirretään DMA:n muistiin.

15.5 Ajastimen asetukset

Ohjelmassa käytettiin ajastinta AD-muunnoksen ottamista varten. Ajastimen avulla muunnosta voidaan ottaa jatkuvasti erillisessä funktiossa ilman muun ohjelman vaikutusta.

Ajastimen asetukset ovat seuraavat:

$$TA0CCTL0 = CCIE;$$

Tässä asetetaan ajastimen keskeytys päälle.

$$TA0CCR0 = 130;$$

Tässä asetetaan aika.

$$TA0CTL = TASSEL_2 + MC_2;$$

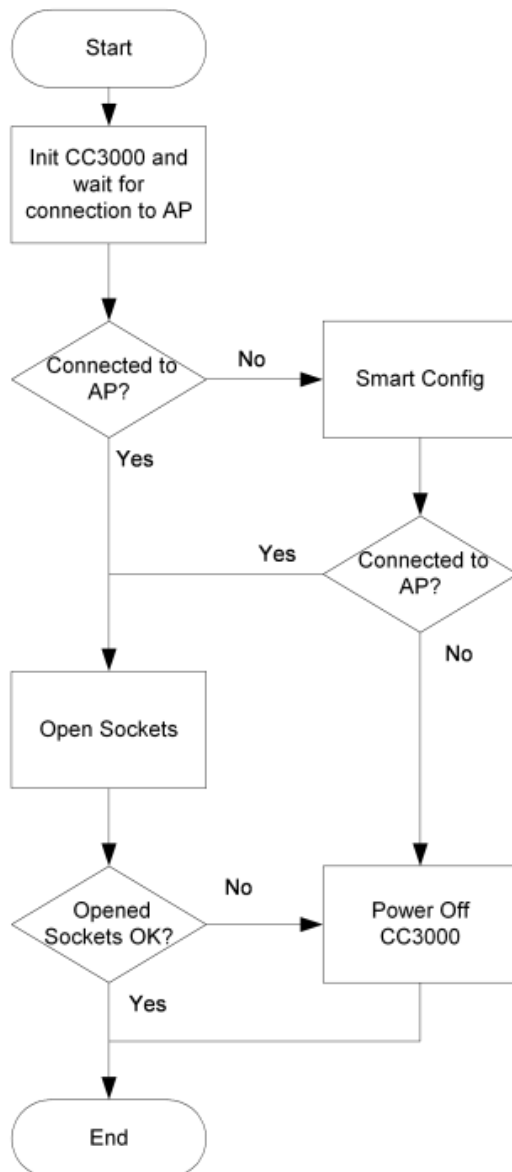
Tässä kytketään ajastimen kellosignaali ja jatkuva tila päälle.

Ajastin pyörii erillisessä keskeytyksellä toimivassa funktiossa, jossa samassa kutsutaan AD-muunnoksen funktiota.

16 WLAN-LÄHETYKSEN OHJELMA

Työssä käytettiin pohjana Texas Instrumentsin tekemää WLAN-ohjelmaa. WLAN-ohjelma sisältää paljon erilaisia alustustiedostoja, joita WLAN-moduuli tarvitsee toimiakseen. Nämä tiedostot on mahdotonta tehdä itse, joten järkevintä on käyttää valmista pohjaa. WLAN-ohjelma käyttää tiedonsiirtoon UDP-protokollaa, joka soveltuu hyvin tällaiseen käyttöön, koska jatkuvaa yhteyttä ei tarvita. Ohjelma sisältää CC3000 WLAN -moduulin ohjaukseen tarvittavat tiedostot. Datalogger-ohjelma sisältää WLAN-ohjelman sekä AD-muuntamisen funktiot. MSP430FR5739-mikroprosessorin pääohjelma on liitteessä 3 ja AD-muunnoksen ohjelma liitteessä 4. Näiden lisäksi ohjelmassa on monia muita tiedostoja, joita WLAN-moduuli tarvitsee toimiakseen.

Kuviossa 16 on esitetty WLAN-ohjelman yhteydenmuodostus. WLAN-moduuli kytkeään toimimaan CC3000EnableAndOpenPort-funktiolla. Tässä funktiossa alustetaan WLAN-moduulin ajurit ja muodostetaan yhteys tukiasemaan. Kun yhteys on saatu, avataan portit. Jos yhteyttä ei jostain syystä saada, ohjelma suorittaa ns. Smart Config -funktion, joka asettaa automaattisesti oikeat asetukset. Jos tämänkään jälkeen ei saada yhteyttä tukiasemaan, WLAN-moduuli sammutetaan.



KUVIO 16. WLAN-ohjelman yhteyden muodostaminen (Texas Instruments Processors Wiki 2012b)

Ohjelman pääfunktiossa alustetaan kaikki liitännät ja tarvittavat funktiot. Pääohjelmassa olevassa ikisilmukassa toteutetaan WLAN-moduulin kytkeminen ja yhteyden muodostus sekä datan lähetys. Ohjelmassa voidaan valita, käytetäänkö suojattua WLAN-yhteyttä vai ei. Tässä tapauksessa käytettiin suojaamatonta yhteyttä, jotta yhteys toimisi varmasti.

WLAN-ohjelmaan liitetty AD-muunnin-funktio ottaa jatkuvaa AD-muunnosta ja saatu data lähetetään WLAN:n avulla eteenpäin. Erillinen lähetysfunktio kytkeytyy toimintakuntoon, kun WLAN-yhteys muodostetaan. Lähetysfunktio lähettää 7 tavun paketteja, joista yksi tavu kertoo datan tyyppin ja kuusi seuraavaa kiihtyvyyssanturilta saadut tiedot. Jokaiselle kiihtyvyyssanturin akselille on varattu kaksi tavua.

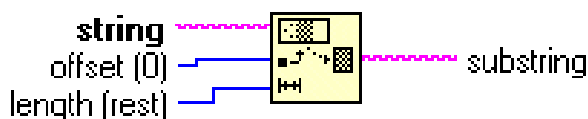
Ohjelmaan tehtiin muutamia muutoksia, jotta siitä saataisiin yksinkertaisempi. Alun perin AD-muunnoksen lähetys tapahtui, kun painettiin MSP430-kortin painiketta. Testit tehtiin ilman tätä painiketta ja painikkeen kanssa. Ohjelma sisälsi oletuksena paljon erilaisia viiveitä, jotka hidastivat WLAN-lähetystä jonkin verran, joten nämä viiveet poistettiin ohjelmasta.

17 DATANKERÄYSOHJELMA

Texas Instrumentsin datankeräysohjelman mukana tulee Windowsille ohjelma, joka kerää dataa langattomasti MSP-kortilta. Tässä työssä ei käytetty kyseistä valmista ratkaisua, vaan tehtiin oma datankeräysohjelma LabView-ohjelmistoympäristössä.

LabView-ohjelmasta tehtiin mahdollisimman yksinkertainen datankeräysohjelma. Ohjelma lukee UDP-protokollaa ja muuntaa saapuvan datan oikeaan muotoon. UDP:stä tuleva data on jonossa, ja jonosta täytyy poimia erilleen kiihtyvyyssanturin akselien tiedot. Ensiksi lähetettiin vain yhden akselin tietoa eli yhden kanavan dataa. Sitten kun ohjelman toiminta voitiin varmistaa, tehtiin tarvittavat muutokset, jotta voitiin lukea dataa kolmelta kanavalta.

Vastaanotetun jonon koko on siis 7 tavua ja tavut 1 – 2 on x-akselin data. Y-akselin data on tavut 3 – 4 ja z-akselin data on loput tavut eli 5 – 6. Ensimmäinen tavu eli tavu nolla on lähetettävän datan tieto. Jonosta poimiminen toteutettiin LabView-ohjelman String subset -funktioilla (kuvio 17). Tähän funktioon asetetaan haluttu jonon kohta, joka siirretään eteenpäin.



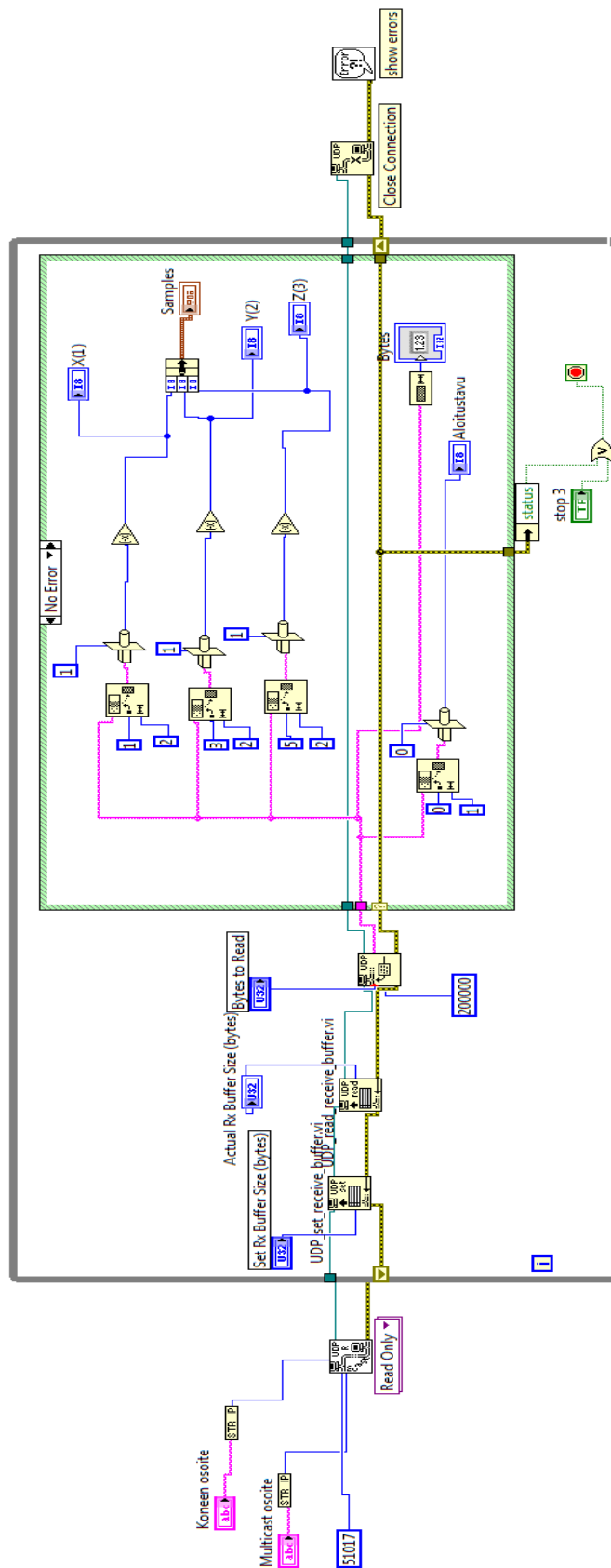
KUVIO 17. String subset - funktio

Kun jonosta on eroteltu saapuva data, se muunnetaan oikeaan muotoon. Tässä tapauksessa käytettiin 8-bittistä integer-muotoa, mutta 16-bittistä muotoa voisi käyttää. Muunnettu data esitetään sitten ohjelman pääikkunan kuvaajassa.

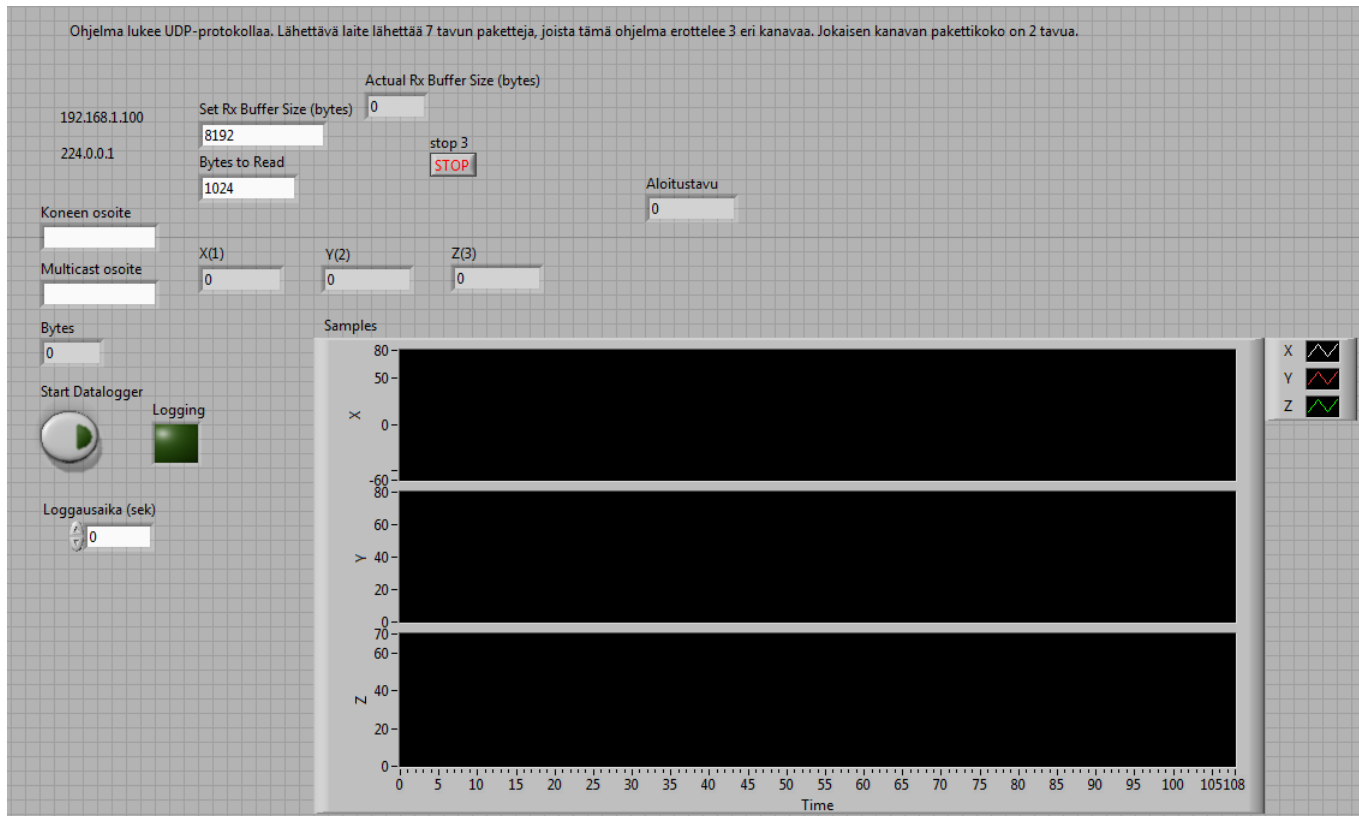
LabView-ohjelmaan sisällytettiin myös datantallennustoiminto. Data tallennetaan kolmesta eri lähteestä tekstitiedostoon. Tallennusaika voidaan säätää käsin ohjelman

pääikkunassa. Data voidaan tallentaa myös muihin tiedostomuotoihin, kuten Excel-tiedostoon. Kuviossa 18 on esillä LabView-ohjelman lohkokaavio ja kuvassa 19 ohjelman käyttöikkuna.

Ohjelmaan lisättiin varmuuden vuoksi UDP:n vastaanottopuskurin kasvattamista varten pienet aliohjelmat. Vastaanottopuskurin kasvattaminen ei ole välttämätöntä, mutta jossain tilanteissa voidaan tarvita lisää puskuria. Vastaanottopuskurin kooksi asetettiin 8 192 tavua.



KUVIO 18. LabView-ohjelman lohkokaavio

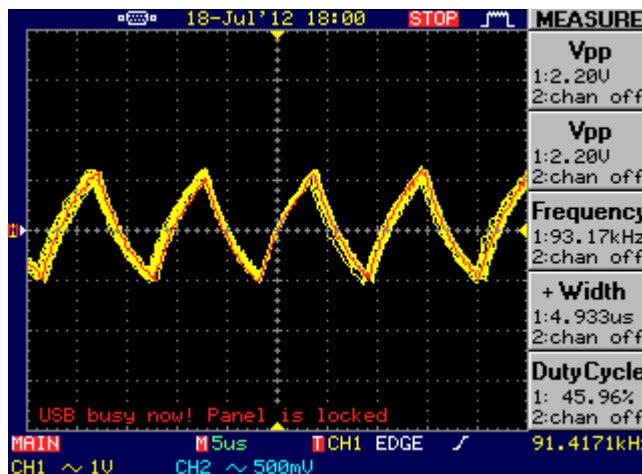


KUVA 19. LabView-ohjelman pääikkuna

Pääikkuna toimii seuraavalla tavalla: Osoitekenttiin syötetään tietokoneen IP-osoite ja Multicast-osoite, joka tässä tapauksessa on 224.0.0.1. Portin numero saatiin selville MSP430-kortin ohjelmasta. Portti asetetaan ohjelman lohkokaavioon. Lisäksi pääikkunassa on datankeräyspainike, josta alkaa datan talteenotto. Kuvaajassa näkyy x, y ja z-akselit. Lisäksi akselien arvot näkyvät numeroina.

18 AD-MUUNNOKSEN LÄHETYKSEN TESTAUS

Lukuisten testien ja asetusten vaihtojen jälkeen päästiin AD-muuntamisessa tyydyttävään lopputulokseen. AD-muuntaminen toimii siis ajastimen avulla. Eri ajastinarvoilla kokeilemalla selvisi, että suurin toimiva muunnosnopeus on n. 90 Ksps. Jos tämän ylittää, WLAN-lähetys ei toimi. Voi olla, että joillakin asetuksilla WLAN-lähetys toimisi nopeamman muunnoksen kanssa. Kuvassa 20 on muunnosnopeus oskilloskoopilta, kun muunnetaan signaalia kolmelta kanavalta ja WLAN-lähetys toimii.



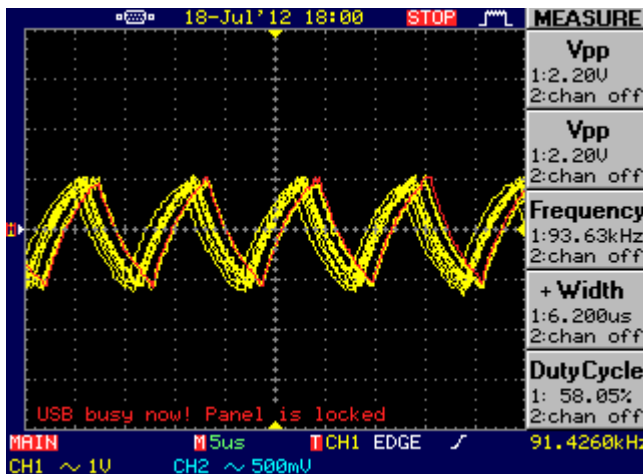
KUVA 20. Muunnosnopeus oskilloskoopilta

WLAN-muuntimen funktioon täytyi tehdä joitain muunnoksia, jotta päästäisiin kuvan 15 muunnosnopeuteen. Esimerkiksi ohjelmasta piti poistaa silmukka, joka kertoo, onko muunnos valmis. Tämä while-silmukka on:

```
while (ADC10CTL1 & BUSY)
```

BUSY-komento indikoi, onko AD-muunnin valmis. Tämä silmukka aiheutti suuria viivettä ja hidasti AD-muuntamista. Lisäksi DMA:n käyttämä virransäästöominaisuus piti ottaa pois käytöstä.

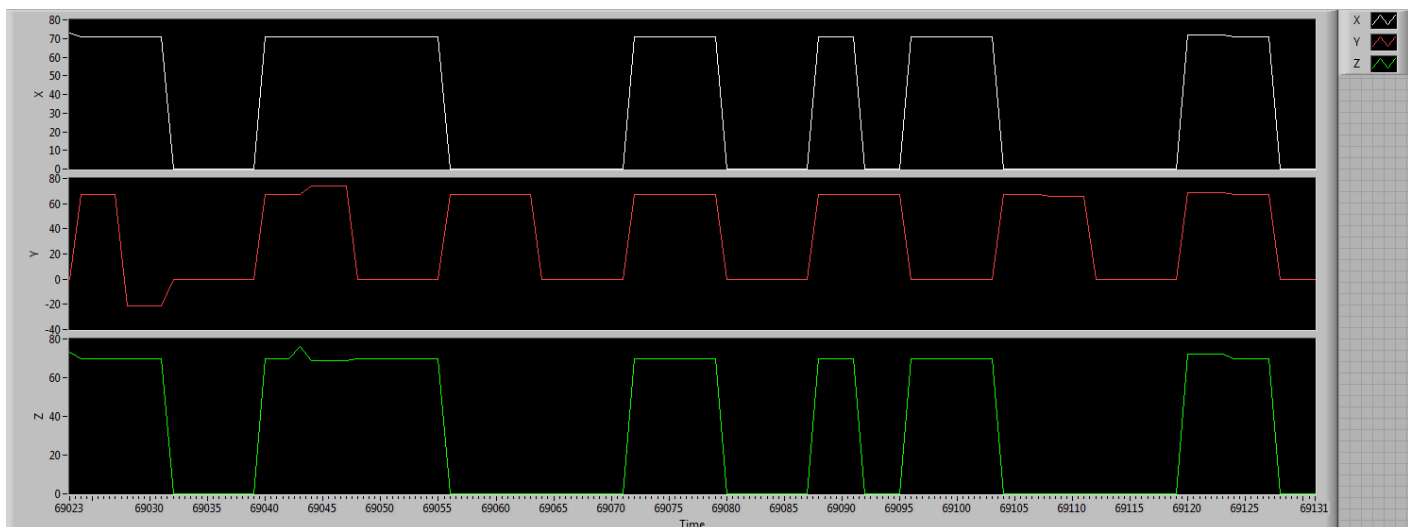
Testien perusteella todettiin, että tämä mikrokontrolleri ei välttämättä sovellu näin nopeaan AD-muuntamiseen ja datan lähetykseen. Suurilla muunnosnopeuksilla WLAN-lähetys alkaa vaikuttaa muunnosnopeuteen. Oskilloskoopista huomaa, kuinka signaali alkaa väristä, kun kytkee lähetyksen. Oletusnopeuksilla tätä värinää ei tapahtu. Kuvassa 21 on muunnosnopeus, kun WLAN-lähetys on kytketty toimimaan.



KUVA 21. Muunnosnopeus oskilloskoopilta ja WLAN-lähetys

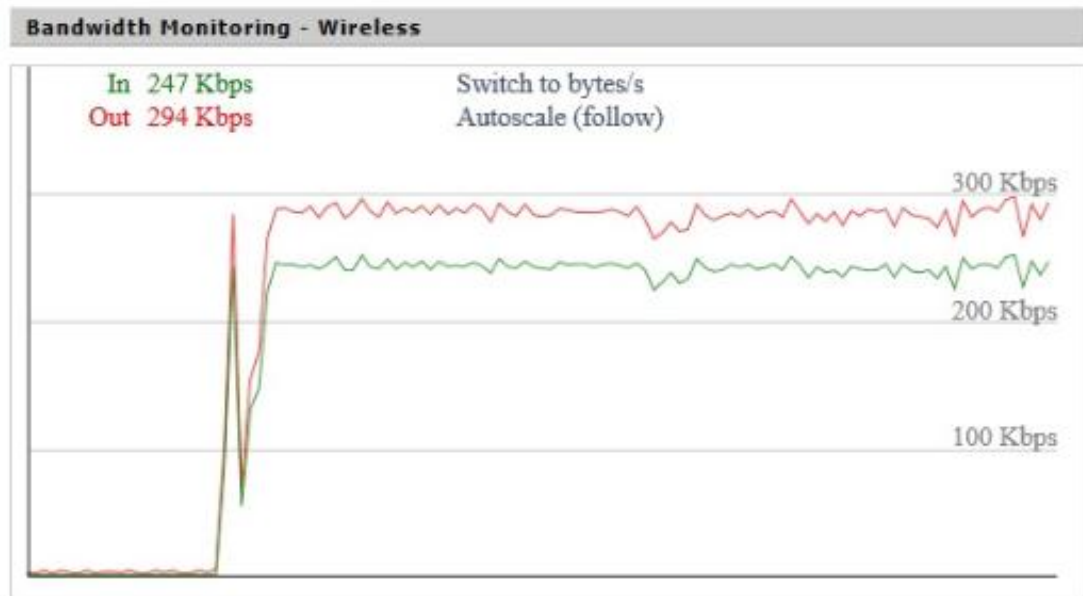
Muunnosnopeus niin sanotusti pätkee todella nopeasti, kun WLAN-lähetys on käytössä. Tähän ei ole löytynyt selvyyttä, mistä se johtuisi. Pätkiminen voi johtua monesta eri asiasta.

Data liikkuu nopeasti LabView-ohjelmaan, vaikka muunnos vähän pätkeikin. AD-muunnetun datan lähetys toimii siis riittävällä tavalla. Kuvassa 22 on LabView-ohjelmaan lähetetty signaali. Valkoinen signaali on x-kanavan signaali ja punainen y-kanavan. Vihreän z-kanavan signaali on periaatteessa sama kuin x-kanavan, koska molempien kanavien lähdesignaali on samasta funktiogeneraattorista. Kaikille kanaville ajettiin 200 Hz:n kanttaaltoja, joka AD-muunnettiin.



KUVA 22. WLAN-signaali LabView-ohjelmassa

AD-muunnoksen lähetyksnopeuden kaistanleveydeksi saatiin n. 300 Kbps. Data siis liikkui WLAN:ssa n. 300 kilotavua sekunnissa. Kaistanleveyden koon pystyi tarkastamaan WLAN-reitittimen seurantaohjelmasta. Kuvassa 23 on esillä lähetyksen kaistanleveys.

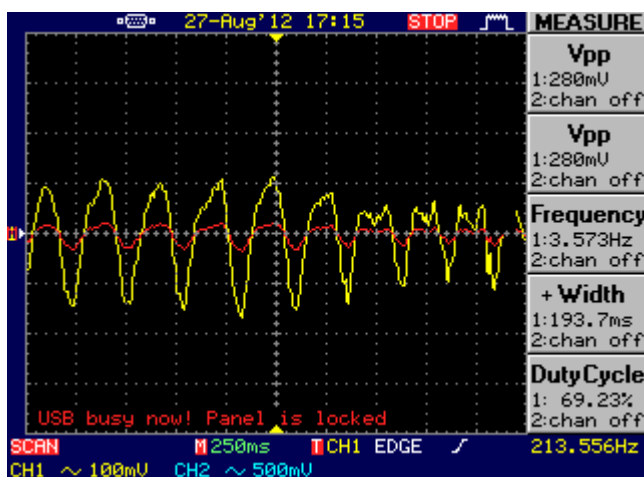


KUVA 23. WLAN – lähetyksen kaistanleveys

19 VÄRÄHTELYN MITTAUKSEN TESTAUS JA DATAN LÄHETYS

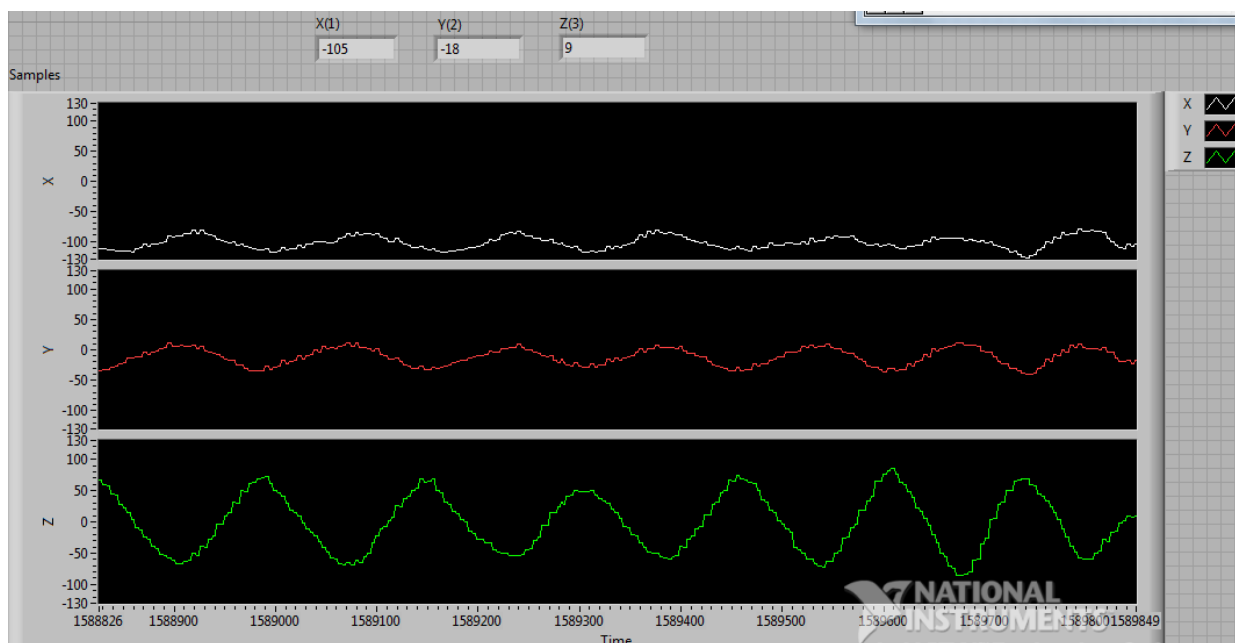
Työn lopullisena tarkoituksena oli saada mitattua kiihtyvyyssanturilla värähtelyä ja lähettää mitattu data langattomasti tietokoneelle. MSP430FR5739-mikrokontrollerissa on sisäänrakennettuna kiihtyvyyssanturi, mutta se ei sovellu kovin hyvin värähtelyn mittaukseen, koska se on kortissa kiinni. Kiihtyvyyssanturin kanssa voidaan käyttää melkein samaa ohjelmaa, jota käytettiin AD-muunnoksen lähettämiseen. Mikrokontrollerin käsittelemä kiihtyvyyssanturin data on raakaa käsittelemätöntä dataa. Jos halutaan oikeanlaista dataa, ohjelmaan on lisättävä AD-muunnoksen lisäksi signaalinkäsittelyä.

Kiihtyvyyssanturin toiminnan MSP430-kortin kanssa pystyi testaamaan kortin omalla kiihtyvyyssanturilla. Ensiksi kiihtyvyyssanturin signaalit testattiin oskilloskoopilla. Kuvassa 24 on kiihtyvyyssanturin signaalia suoraan anturista, kun anturi altistuu tärinälle.

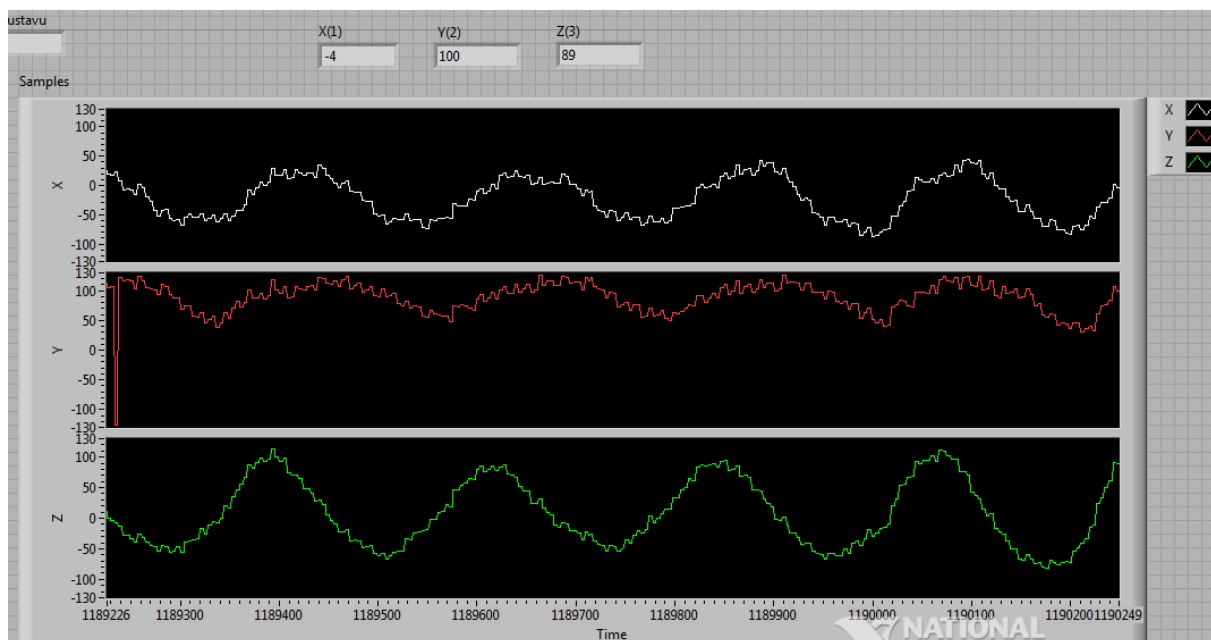


KUVA 24. Kiihtyvyyssanturin signaalia

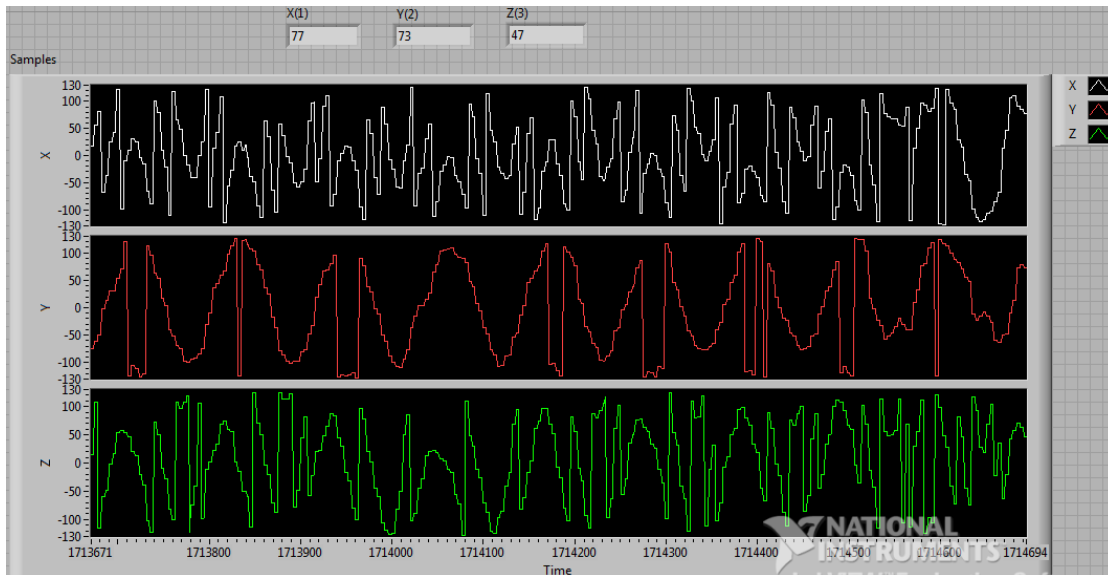
Tämän jälkeen testattiin kiihtyvyyssanturin AD-muunnetun datan lähetystä langattomasti. MSP-kortille aiheutettiin tärinää, joka vastaa värähtelyn mittausta. Testien perusteella data liikkui samalla tavalla LabView-ohjelmaan kuin aikaisemmin pelkän AD-muunnoksen lähetyksessä. Kuvissa 25 ja 26 on sisäänrakennetun kiihtyvyyssanturin signaalia LabView-ohjelmassa.



KUVA 25. Sisäänrakennetun kiihtyvyysanturin testaus



KUVA 26. Sisäänrakennetun kiihtyvyysanturin testaus



KUVA 27. Kovaa tärinää sisäänrakennetulla anturilla

Kuvassa 25 värähtely aiheutuu eniten sensorin z-akselille ja kuvassa 26 värähtelyä on havaittavissa jokaisella akselilla. Ensimmäinen arvo on x-akselilta ja toinen arvo on y-akselilta. Viimeinen arvo on z-akselin arvo. Kuvassa 27 on testitulos, kun anturille tehdään kovaa tärinää. Kuten kuvista näkee, signaaleissa on jonkin verran kulmikuutta. Signaali ei siis ole puhdasta siniaaltoja, jota sen pitäisi olla. värähtelytestien yhteydessä testattiin datankeräyksen toiminta ja värähtelyn arvoja tallennettiin datankeräysohjelmalla tekstitiedostoon (kuvio 28).

27.8.2012,12:19:29	36,	-32,	88
27.8.2012,12:19:29	36,	-32,	88
27.8.2012,12:19:29	36,	-32,	88
27.8.2012,12:19:29	36,	-32,	88
27.8.2012,12:19:29	36,	-32,	88
27.8.2012,12:19:29	61,	-37,	85
27.8.2012,12:19:29	61,	-37,	85
27.8.2012,12:19:29	61,	-37,	85

KUVIO 28. Otos datankeräys-tekstitiedostosta

20 YHTEENVETO

Opinnäytetyön tavoitteena oli kehittää mittauslaitteisto, jolla voidaan mitata voimaa ja värähtelyä. Lisäksi mitattu data tuli saada siirrettyä langattomasti tietokoneelle. Lopputuloksena saatiin toimiva datankeräysjärjestelmä kiihtyvyyssanturille. Kiihtyvyyssanturi saatiin toimimaan prosessorikortin kanssa ja mitattu data saatiin lähetettyä langattomasti tietokoneelle datankeräysohjelmaan. Lisäksi venymäliuskaprosessori saatiin toimimaan halutulla tavalla. Työn lopputulokseen ollaan kaikin puolin tyytyväisiä.

Työ sisälsi mikrokontrollerin ohjelmointia C- ja Assembler-kielillä sekä LabView-ohjelmointia. Lisäksi työ sisälsi sensoritekniikkaa, sulautettujen järjestelmien kehitystä ja langatonta tiedonsiirtoa. Työ oli siis erittäin laaja ja opin paljon uutta sulautettujen järjestelmien ohjelmoinnista ja sensoritekniikasta. Työstä saatuja oppeja voin hyödyntää tulevaisuuden töissä.

LÄHTEET

Acam. 2012a. *PS081-EVA-Kit datasheet*. [Pdf-dokumentti]. [viitattu 8.5.2012]. Saatavissa: http://www.acam.de/fileadmin/Download/pdf/English/DB_PS081-EVA_en.pdf

Acam. 2012b. *PS081 datasheet*. [Pdf-dokumentti]. [viitattu 9.5.2012]. Saatavissa: http://www.acam.de/fileadmin/Download/pdf/English/DB_PS081_en.pdf

Analog Devices. 2012. *AD8420 Datasheet*. [Pdf-dokumentti]. [viitattu 20.6.2012]. Saatavissa: http://www.analog.com/static/imported-files/data_sheets/AD8420.pdf

Caro, D. 2008. *Wireless Networks for Industrial Automation (3rd Edition)*. [verkkokirja]. ISA. [viitattu 25.7]. Saatavilla: http://www.knovel.com/web/portal/browse/display?_EXT_KNOVEL_DISPLAY_bookid=3309&VerticalID=0

Chen, W-K. 2005. *Electrical Engineering Handbook* [verkkokirja]. Elsevier. [viitattu 11.10]. Saatavilla: http://www.knovel.com/web/portal/browse/display?_EXT_KNOVEL_DISPLAY_bookid=1713&VerticalID=0

Gardner, J.W., Varadan, V.K., Awadelkarim, O.O. 2001. *Microsensors, MEMS, and Smart Devices*. [verkkokirja]. John Wiley & Sons. [viitattu 31.7.2012]. Saatavissa: http://www.knovel.com/web/portal/browse/display?_EXT_KNOVEL_DISPLAY_bookid=1436&VerticalID=0

Gastineu, A., Johnson, T. & Schultz, A. 2009. *Bridge Health Monitoring and Inspection – A Survey of Methods*. [Pdf-dokumentti]. [viitattu 12.9.2012]. Saatavissa: <http://www.cts.umn.edu/Publications/ResearchReports/pdfdownload.pl?id=1262>

Jing, C., Chun, W., Chun, X. & Liqiao, L. 2009. *Research on Signal Processing for Bridge Health Monitoring*. [Pdf-dokumentti]. [viitattu 12.9.2012]. Saatavissa: <http://ieeexplore.ieee.org.ezproxy.savonia-amk.fi:2048/stamp/stamp.jsp?tp=&arnumber=5274059>

Kyowa. 2012. *Strain Gages*. [Pdf-dokumentti]. [viitattu 14.6.2012 ja 19.6.2012]. Saatavissa: http://www.straintech.fi/pdf/2012Kyowastraingage_cat_e.pdf

Lidan, X., Yin-Nee, C., Chen, C., Mo, Y., King-Lun, K., Po-Fat, C., Leung, W. 2007. *A Strain Gauge that Uses Carbon Black and Carbon Nanotube Doped Silicone Oil Encapsulated in a PDMS Microchannel*. [Pdf-dokumentti]. [viitattu 12.6.2012]. Saatavissa: <http://ieeexplore.ieee.org.ezproxy.savonia-amk.fi:2048/stamp/stamp.jsp?tp=&arnumber=4601398>

LS Research. 2012. *TiWi-SL Module – Datasheet*. [Pdf-dokumentti]. [viitattu 19.7.2012]. Saatavissa: <http://www.lsr.com/downloads/products/330-0085.pdf>

Mhetre, M. Nagdeo, N.S. & Abhyankar, H. K. 2011. *Micro Energy Harvesting for Bio-medical Applications: A Review*. [Pdf-dokumentti]. [viitattu 20.6.2012]. Saatavissa: <http://ieeexplore.ieee.org.ezproxy.savonia-amk.fi:2048/stamp/stamp.jsp?tp=&arnumber=5941789>

Millau Viaduct. 2012. *Techniques: Instrumentation*. [verkkodokumentti]. [viitattu 11.9.2012]. Saatavissa: http://www.leviaducdemillau.com/en_index.php#/accueil/

Ming, L., Xiaokun, S. & Yawen, W. 2008. *Signal Processing and Accelerometer-based Design for Portable Small Displacement Measurement Device*. [Pdf-dokumentti]. [Viitattu 31.7.2012]. Saatavissa: <http://ieeexplore.ieee.org.ezproxy.savonia-amk.fi:2048/stamp/stamp.jsp?tp=&arnumber=4595612>

Morris, A. S. & Langari, R. 2012. *Measurement and Instrumentation - Theory and Application*. [verkkokirja]. Elsevier. [viitattu 11.10]. Saatavilla: http://www.knovel.com/web/portal/browse/display?EXT_KNOVEL_DISPLAY_bookid=4676&VerticalID=0

Pararas-Carayannis, C. 2007. *Rio–Antirrio bridge*. [verkkodokumentti]. [Viitattu 11.9.2012]. Saatavissa: <http://www.drgeorgepc.com/ArtRionAntirionBridge.html>

PCB Piezotronics. 2012. *Sensing Technologies used for Accelerometers*. [verkkodokumentti]. [viitattu 9.10]. Saatavissa: http://www.pcb.com/Accelerometers/Sensing_Technologies.asp

Rogers, J.E., Ramadoss, R., Ozmun, P.M., & Dean, R.N. 2007. *MEMS Accelerometer Fabricated Using Printed Circuit Processing Techniques*. [Pdf-dokumentti]. [viitattu 20.6]. Saatavissa: <http://ieeexplore.ieee.org.ezproxy.savonia-amk.fi:2048/stamp/stamp.jsp?tp=&arnumber=4375135>

Spectrum.ieee. 2012. *Despite Stimulus Money, Most U.S. Bridges Might Stay Dumb*. [verkkodokumentti]. [viitattu 11.9.2012]. Saatavissa: <http://spectrum.ieee.org/computing/hardware/despite-stimulus-money-most-us-bridges-might-stay-dumb/0>

Stefanescu, D.M. 2011. *Strain gauges and Wheatstone bridges — Basic instrumentation and new applications for electrical measurement of non-electrical quantities*. [Pdf-dokumentti]. [viitattu 7.6.2012 ja 14.6.2012]. Saatavissa: <http://ieeexplore.ieee.org.ezproxy.savonia-amk.fi:2048/stamp/stamp.jsp?tp=&arnumber=5767428>

Texas Instruments. 2012a. *MSP430 Ultra-Low-Power-Microcontrollers*. [Pdf-dokumentti]. [viitattu 18.7.2012]. Saatavissa: <http://www.ti.com/lit/sq/slab034v/slab034v.pdf>

Texas Instruments. 2012b. MSP430FR5739. [verkkodokumentti]. [viitattu 18.7.2012]. Saatavissa: <http://www.ti.com/tool/msp-exp430fr5739>

Texas Instruments. 2012c. *MSP430FR573x, MSP430FR572x Mixed Signal Micro-controller*. [Pdf-dokumentti]. [viitattu 16.10]. Saatavissa: <http://www.ti.com/lit/ds/symlink/msp430fr5739.pdf>

Texas Instruments. 2012d. *MSP430FR5739 – Datasheet*. [Pdf-dokumentti]. [viitattu 17.5.2012 ja 18.7.2012]. Saatavissa: <http://www.ti.com/lit/ug/slau272a/slau272a.pdf>

Texas Instruments. 2012e. *Energy Harvesting*. [verkkodokumentti]. [viitattu 12.10.2011]. Saatavissa: http://www.ti.com/ww/en/apps/energy-harvesting/index.shtml?DCMP=MSP430_Energy&HQS=Other+OT+energyharvesting

Texas Instruments Processors Wiki. 2012a. *TiWi-SL Module*. [verkkodokumentti]. [viitattu 19.7]. Saatavissa: http://processors.wiki.ti.com/index.php/CC3000_Wi-Fi_EM#LS_Research_EM_Board

Texas Instruments Processors Wiki. 2012b. *CC3000 Data Logger*. [verkkodokumentti]. [viitattu 10.8]. Saatavissa: http://processors.wiki.ti.com/index.php/CC3000_Data_Logger_Description

Wilson, J. S. 2005. *Sensor Technology Handbook* [verkkokirja]. Elsevier. [viitattu 20.6.2012]. Saatavilla: http://www.knovel.com/web/portal/browse/display?EXT_KNOVEL_DISPLAY_bookid=1659&VerticalID=0

Yongdae, K. Youngdeok, K., Chulsub, L. & Sejin, K. 2010. *Thin Polysilicon Gauge for Strain Measurement of Structural Element*. [Pdf-dokumentti]. [viitattu 7.6.2012]. Saatavissa: <http://ieeexplore.ieee.org.ezproxy.savonia-amk.fi:2048/stamp/stamp.jsp?tp=&arnumber=5471796>

Zuozhou, Z., Jiangbo, S. Xiaotian, F. Wei, L. Xiaohui, C. Zonggang, W. & Huazhong, Y. 2012. *Wireless Sensor Network Based Cable Tension Monitoring for Cable-stayed Bridges*. [Pdf-dokumentti]. [viitattu 12.9.2012]. Saatavissa: <http://ieeexplore.ieee.org.ezproxy.savonia-amk.fi:2048/stamp/stamp.jsp?tp=&arnumber=6174723>

ESIMERKKI VOIMANMITTAUSOHJELMA PS081-KORTILLA

;Example program

;Author: Acam messelectronic, UTG / RE

Date: 01-06-2008

```
#include "config.h"           ;include the configuration of the registers, please see 'Includes' tab
page
```

;-----LCD register -----

CONST lcd_reg_high 15 + 48

CONST lcd_reg_mid 14 + 48

CONST lcd_reg_low 13 + 48

;-----

;----- constants for RAM addresses in which values are stored-----

CONST init_offset_value 1

CONST unit_mode 2

CONST state_machine 3

CONST state_measure 4

CONST counter 5

CONST last_display_value 6

CONST roll_avg_ram_1 7

CONST roll_avg_ram_2 8

CONST roll_avg_ram_3 9

CONST roll_avg_ram_4 10

CONST roll_avg_result 11 ;rolling average result

CONST tara_value 12

;-----

--

;----- constants for the states of the state machine-----

CONST idle_state 0

CONST init_state 1

CONST measure_state 2

```

;-----
--

;----- constants for RAM addresses used by the TDC-----
----
CONST    status_flags          22
CONST    result_HB0            20
;-----
---

;----- constants for bits in the flag register at RAM address 22 (status_flags)-----
----
CONST flag_Cal_button          20          ; Cal button pressed
CONST    flag_POR                19          ;      EEpromein-
sprung durch Poweron Reset
CONST    flag_rstssn              18          ;      EEpromein-
sprung durch Button
CONST    ON_button_rise_flag      4          ; Rising edge flag for ON / Tara button
;-----
----

;----- constants for configuration registers and configuration bits-----
----
CONST cfg_reg_lcd_standby          59
CONST cfg_bit_lcd_standby          12

CONST cfg_reg_tdc_sleepmode        49
CONST cfg_bit_tdc_sleepmode        17
;-----
----

; Overview states:

; STATE == 1 --> init state
; STATE == 2 --> measure mode

;-----
----

```


; Power On Reset Detection

rst_pwr_check:

ramadr status_flags
gotoBitS r, flag_POR, power_on_reset ; Reset occurred let's go and find out
which one

program_entry:

ramadr state_machine ; Normal program entry (no POR)

getflag r ; If state is zero we are in sleep mode

gotoBitS r, 0, get_initial_offset ; if bit 0 is set it indicates init state

gotoBitS r, 1, measurement ; if bit 1 is set it indicates measure state

power_on_reset:

skipBitS r, flag_rstssn, 2 ; Keep unit setting, if reset is from button

ramadr unit_mode ; if new battery set unit to default

clear r ; Default unit mode is gr (0)

(0) ramadr state_machine ;After reset set state machine to sleep mode

clear r

ramadr counter ;initialize counter variable to zero

clear r

init:

ramadr state_machine

move r, 1 ; Set state machine to initialization state (1)

```

ramadr    last_display_value    ; This value holds the last value shown on
the display

clear     r                      ; Nothing displayed yet so set to zero
ramadr    tara_value
clear     r                      ;clear saved tara
ramadr    counter
clear     r

setLCD                      ; set all segments on LCD
newlcd                      ; refresh LCD display

clear     x
jsub      roll_avg_initialize    ; Initialize rolling average with 0

;-----
;
; The following bits are located in the configuration registers. By default the configuration should be
; set up for sleep mode in which the current consumption is low.
; See the Configuration file in the include section. Only after turning on the scale they are changed
; here to perform the desired operation.
;-----
;
ramadr    cfg_reg_lcd_standby    ; Register 59 contains config bit to put LCD
standby

bitclr    r, cfg_bit_lcd_standby ; Clear bit 12 to take LCD out of standby
(sleep) mode

ramadr    cfg_reg_tdc_sleepmode  ;Register 49 contains config bit to put TDC
to sleepmode

bitclr    r, cfg_bit_tdc_sleepmode ;Clear bit 17 to take TDC out of sleep mode

;-----
;
goto      end

get_initial_offset:
ramadr    result_HB0            ; Get measurement value for compensated
HB0 result

move      x, r                  ; Move value to accu x

```

```

    jsub      five_times_roll_avg    ; Add value of x to rolling average 5 (result is
also stored in x)

    ramadr    init_offset_value      ; This location holds the value of the initial
offset

    move      r, x                    ; Averaged value is returned in x, save it as
initial offset

    ramadr    counter
    incr      r
    compare   r, 10
    skipPos   3
    ramadr    state_machine          ; Next step sets state machine to measure
mode (2)

    move      r, 2
    jsub      roll_avg_initialize     ; Initialize rolling average with new offset
value

    goto      end

measurement:
    ramadr    result_HB0             ; Get measurement value for compensated
HB0 result

    move      y, r                    ; Move value to accu. x

    ramadr    init_offset_value      ; This location holds the value of the initial
offset

    move      x, r
    sub       x, y                    ; Subtract the initial offset from the current
measurement value -> result in x

;--- Step Filter ---

    move      z, x                    ; Copy measurement value from x to z
    ramadr    roll_avg_result        ; Get last result (stored in roll_avg_result)
    sub       z, r
    abs       z
    compare   z, 20                   ; Check if difference is <> 20
    skipPos   1                       ; If difference is greater than 20, then initial-
ize rolling average new (fast stepping)

```

jsub roll_avg_initialize

;---- New value in rolling average buffer ----

jsub five_times_roll_avg ;Send new value through 5-time avg filter->

Result will be in x

move z, 0x20c114 ; he measured raw value was 4575 with 1kg

load. Because of this

; the result has to be multiplied by 0,2186, which is 0.2186×2^{23}

mult24 x, z ; final result in accu. x for no2lcd function

;---- Was tare button pressed ? ----

ramadr status_flags ;Check status register

skipBitC r, ON_button_rise_flag, 2 ; Was tare button pressed ?

ramadr tara_value ;Store tara value

move r, x

;---- Subtract tara value ----

move y, x ; Store value in y

ramadr tara_value

move x, r ; Put tara value in x

sub x, y ; Subtract tara value from measured value ->

Result in x

;--- Hysteresis for displayed values ----

move z, x ; Copy result from x to z

ramadr last_display_value ; Ramadr of last displayed value

gotoEQ display ;value is 0, skip the next lines

sub z, r

abs z

;ramadr state_machine

;gotoBitC r, 23, display

compare z, 6 ; If the difference is less than 6, don't refresh

displayed value

gotoPos end

display:

```
ramadr    last_display_value    ;Save value which is going to be displayed
move      r, x
```

```
ramadr    lcd_reg_high
and        r, 0x000080          ;Erase all special characters which were set
by setLCD except 'gr'
```

```
ramadr    state_machine
bitset    r, 23                ;Set flag to indicate that displaying on the
LCD was done
```

```
no2lcd     x, 1                ; Function takes x as the value to display and
the number of digits after the comma
```

```
ramadr    lcd_reg_mid
skipPos    1                  ; If value to display is positive skip next two
commands
```

```
bitset     r, 22              ; ... set the minus sign
```

```
newlcd                                ; Show value on LCD display
```

```
goto      end
```

```
;-----
```

```
; Add value in x to Rolling Average filter and return averaged value in x again
```

```
; (all values are raw values (HB0) and are scaled to gramm later in 'measurement-block')
```

```
;-----
```

roll_avg_initialize:

```
initAvg    x, 5                ;initialize a 5 times rolling average with the
value of x
```

```
ramadr     roll_avg_result
```

```
move       r, x                ;save result in ramcell roll_avg_result (used
later for five_times_roll_avg subroutine)
```

```
jsubret
```

five_times_roll_avg:

rollAvg x, 5

was previously initialized by initAvg x, 5)

ramadr roll_avg_result

move r, x

(needed for step-filter, hysteresis, etc.)

jsubret

called

;add value of x to rolling average 5 (which

;save result in ramcell roll_avg_result

; Return to location from which filter was

end: clrwdt

stop

;--EOF—

AD-MUUNNOSOHJELMA MSP430-MIKROKONTROLLERILLA

```
// AD-muunnos
```

```
// Tekijä: Ville Pyykölä
```

```
#include "msp430fr5739.h"
```

```
void TakeAdcMeas(void);
```

```
#define MCLK      24000000
```

```
void main( void )
{
```

```
    // Stop watchdog timer to prevent time out reset
    WDTCTL = WDTPW + WDTHOLD;
```

```
    CSCTL0_H = 0xA5;                                // Unlock register
    CSCTL1 |= DCOFSEL0 + DCOFSEL1;                  // Set max. DCO setting
    CSCTL2 = SELA__VLOCLK + SELS__DCOCLK + SELM__DCOCLK;
    CSCTL3 = DIVA_0 + DIVS_0 + DIVM_0;              // set all dividers
    CSCTL0_H = 0x01;                                // Lock Register
```

```
P1DIR |= BIT0;
```

```
// SPI – väylän asetukset (SPI – väylä ei käytössä tässä ohjelmassa)
```

```
// P2SEL1 |= (BIT0 + BIT1);
```

```
// P2SEL0 &= ~(BIT0 + BIT1));
```

```
// P1SEL1 |= (BIT5);
```

```
// P1SEL0 &= ~BIT5;
```

```
// Resetistä lähtee toimimaan
```

```
    UCA0CTLW0 |= UCSWRST;                            // **Put state machine in reset**
    UCA0CTLW0 |= UCMST+UCSYNC+UCCKPL+UCMSB;           // 3-pin, 8-bit SPI master
                                                    // Clock polarity high, MSB
```

```
    UCA0CTLW0 |= UCSSEL__SMCLK;                      // ACLK
    UCA0BR0 = 0x02;                                   // /2
    UCA0BR1 = 0;                                      //
    UCA0MCTLW = 0;                                    // No modulation
    UCA0CTLW0 &= ~UCSWRST;                           // **Initialize USCI state machine**
    UCA0IE |= UCRXIE;                                // Enable USCI_A0 RX interrupt
```

```
// AD – muuntimen asetukset. Jatkuvaa AD – muuntamista yhdeltä kanavalta
```

```
P1SEL1 |= BIT4;
```

```
P1SEL0 &= ~(BIT4);
```

```
// 16ADCclks, MSC, ADC ON
```

```
ADC10CTL0 &= ~ADC10ENC;
```

```
// Ensure ENC is clear
```

```

ADC10CTL0 = ADC10ON + ADC10SHT_0;
ADC10CTL1 = ADC10SHS_0 + ADC10SHP + ADC10CONSEQ_0 + ADC10SSEL_0;
ADC10CTL2 = ADC10RES;
ADC10CTL2 &= ~(ADC10SR);
ADC10MCTL0 = ADC10SREF_0 + ADC10INCH_4;
//ADC10IV = 0x00; // Clear all ADC12 channel int flags
ADC10IE |= ADC10IE0;

while(1)
{

    TakeAdcMeas();

}
}

void TakeAdcMeas(void)
{

    ADC10CTL0 |= ADC10ENC | ADC10SC; // käynnistetään muunnos
    while ((ADC10IFG & ADC10IFG0)==0); // onko muunnos valmis?
    P1OUT ^= BIT0; // Pinni 1 vaihtaa tilaa

}

```


AD-MUUNNOS SPI-VÄYLÄÄN MSP430-MIKROKONTROLLERILLA

```
// AD-muunnoksen lähetys SPI-väylään
// Tekijä: Ville Pyykölä
//
// AD-muuntimen sisääntulo pinnistä 1.4
// SPI-väylä ulos pinnistä 2.0
//

#include "msp430fr5739.h"

unsigned char ADCResult;
unsigned char RXData =0;
unsigned char TXData;

void main(void)
{
    volatile unsigned int i;

    WDTCTL = WDTPW+WDTHOLD;           // Stop watchdog timer
    P1DIR |= BIT0;
    P1OUT &= ~BIT0;

    PJDIR |= BIT0 + BIT1 + BIT2;

    PJSEL0 |= BIT4+BIT5;

    // DCO – asetukset

    CSCTL0_H = 0xA5;
    CSCTL1 |= DCOFSEL0 + DCOFSEL1;    // Set max. DCO setting
    CSCTL2 = SELA_0 + SELS_3 + SELM_3; // set ACLK = XT1; MCLK = DCO
    CSCTL3 = DIVA_0 + DIVS_3 + DIVM_3; // set all dividers
    CSCTL4 |= XT1DRIVE_0;
    CSCTL4 &= ~XT1OFF;

    // Pinnit

    P1SEL1 |= BIT5;
    P2SEL1 |= BIT0 + BIT1;
    P1SEL1 |= BIT0;

    // SPI - Väylän alustus
    // Resetistä lähtee

    UCA0CTLW0 |= UCSWRST;              // **Put state machine in reset**
    UCA0CTLW0 |= UCMST+UCSYNC+UCCKPL+UCMSB; // 3-pin, 8-bit SPI master
                                           // Clock polarity high, MSB

    UCA0CTLW0 |= UCSSEL__SMCLK;        // ACLK
    UCA0BR0 = 0x02;                    // /2
    UCA0BR1 = 0;
    UCA0MCTLW = 0;                    // No modulation
    UCA0CTLW0 &= ~UCSWRST;            // **Initialize USCI state machine**
    UCA0IE |= UCRXIE;                 // Enable USCI_A0 RX interrupt
```

```

// AD - muuntimen asetukset
// Sisääntulopinnit

P1SEL1 |= BIT4;
P1SEL0 |= BIT4;

ADC10CTL0 &= ~ADC10ENC;           // Ensure ENC is clear
ADC10CTL0 = ADC10ON + ADC10SHT_2;
ADC10CTL1 = ADC10SHS_0 + ADC10SHP + ADC10CONSEQ_2 + ADC10SSEL_0;
ADC10CTL2 = ADC10RES;
ADC10CTL2 &= ~ADC10SR;
ADC10MCTL0 = ADC10SREF_0 + ADC10INCH_4;
ADC10IV = 0x00;
ADC10IE |= ADC10IE0;

// DMA – asetukset
// ADC10IFG trigger -> AD - muunnokset menevät DMA:n avulla talteen

DMACTL0 = DMA0TSEL__ADC10IFG;
__data16_write_addr((unsigned short) &DMA0SA,(unsigned long) &ADC10MEM0);
// Source single address
__data16_write_addr((unsigned short) &DMA0DA,(unsigned long) &ADCResult);
// Destination array address

DMA0SZ = 64;
DMA0CTL = DMADT_4 + DMADSTINCR_3 + DMAEN + DMAIE + DMALEVEL;

while(1)
{
    UCA0IE |= UCTXIE;
    //__delay_cycles(25000);

    ADC10CTL0 |= ADC10ENC | ADC10SC;
    while ((ADC10IFG & ADC10IFG0)==0);
    ADCResult = ADC10MEM0;           // Muunnos talteen
    TXData = ADCResult;             // Lähetettävä data = muunnos

    while (!(UCA0IFG&UCTXIFG));     // USCI_A0 TX buffer valmis?
    UCA0TXBUF = TXData;             // Lähetetään data
    UCA0IE &= ~UCTXIE;
}
}

```

MSP430-PÄÄOHJELMA

```

/*
 * main.c - DataLogger_prj.

Author: Ville Pyykölä
*/

#include "msp430fr5739.h"
#include "adc.h" Author: Texas Instruments
#include "wlan.h" Author: Texas Instruments
#include "evnt_handler.h" Author: Texas Instruments
#include "nvmem.h" Author: Texas Instruments
#include "socket.h" Author: Texas Instruments
#include "CC3000_common.h" Author: Texas Instruments
#include "netapp.h" Author: Texas Instruments
#include "version.h" Author: Texas Instruments
#include <string.h> Author: Texas Instruments
#include <msp430.h> Author: Texas Instruments


#ifndef true
#define true 1
#define false 0
#endif

//
// Simple Config Prefix
//
char aucCC3000_prefix[] = {'P', 'D', 'E'};
//
// These are the main statemachine states
//
#define SEND_THERMOSTAT_STATE 2
#define GET_MESSAGES_FROM_HOST_STATE 3
#define SEND_ACCEL_XYZ_START_STATE 4
#define SEND_ACCEL_XYZ_STATE 5
#define SEND_ACCEL_XYZ_STOP_STATE 6
#define IDLE_STATE 7


static unsigned char CC3000ConectionState;
//

```

```

// These are the CC3000 connection status states
//
#define CC3000_INIT_STATE      1
#define CC3000_NOT_CONNECTED_STATE  2
#define CC3000_CONNECTED_STATE    3
#define CC3000_CONNECTED_PORTS_OPEN_STATE 4

//
// Various different CC3000 Status values
// returned when attempting to initialize
// and open sockets.
//
typedef enum CC3000_STATUS_T{
    CC3000_CONNECTED_PORTS_OPEN      = 0,
    CC3000_CONNECTED_NO_ADDR_ERR     = -1,
    CC3000_NO_AP_TIMEOUT_ERR         = -2,
    CC3000_NO_AP_ERR                  = -3,
    CC3000_NO_PORTS_CLOSED_ERR       = -4
}CC3000Status_t;

//
// The Processor Clock frequency in Hz
//
#define MCLK      24000000                // 24 MHz kellotaajuus
// uncomment this if you would like to use DHCP
//
// #define DHCP_EN      1
//
// Other Wise, you can specify the IP address here
//
unsigned char g_ThisIpAddress[4] = {192, 168, 1, 103};
unsigned char g_ThisMulticastAddress[4] = {224, 0, 0, 1};

//
// Comment out if you want to force a connection to a specific AP
//
// #define SMART_CONFIG_EN      1
// #define TEMPERATURE_UDP_PORT  0xC748

```

```

#define ACCELEROMETER_UDP_PORT 0xC749

//
// MCLK / 1000 = 1ms tick.
// Do a check that the number will fit in a 16-bit reg
//

#define TICK_RATE_1MS    MCLK / 250000

#if (TICK_RATE_1MS > 0x0000FFFF)
#error "TICK_RATE_1MS > than 16-bit"
#endif

// S1 Mapping (port4)
#define S1_BIT    BIT0
#define S1_PRESSED ((P4IN & BIT0) ? 0:1)

// LED mapping
#define LED_CONNECTION    0
#define LED_TRYING_CONNECT 1
#define LED_SIMPLE_CONFIG 2
#define LED_TX            3
#define LED_RX            4
#define LED_READY         5
// #define LED_UNDEF      6
// #define LED_UNDEF      7

// FRAM Data logger Mem Map
#define SHORT_TERM_BUFFER_SIZE 60
#define LONG_TERM_BUFFER_SIZE 1440
// We don't use the linker here to define the
// the data log memory in FRAM but we do use the
// linker to ensure that we reserve enough
// space. The linker section is called "FRAM_DATA_LOG"
// Define the end to be even otherwise byte packing wont align
// CSTACK starts at 0xFE00 so we subtract to just to be safe.
// Each buffer has 2 16-bit headers reserved for the Length and the
// index of the T=0 data
#define LONG_TERM_END_ADD    (0xF0A0)

```

```
// We find the start address based off the end address
#define LONG_TERM_START_ADD (LONG_TERM_END_ADD -
LONG_TERM_BUFFER_SIZE)
// We reserve two more 16-bit values to store the Length and T=0 position
// This information is sent in the WiFi packet as a header
#define LONG_TERM_HEADER_ADD (LONG_TERM_START_ADD - (2*sizeof(short)))

// Now we repeat the definitions for the short term buffer.
#define SHORT_TERM_END_ADD (LONG_TERM_HEADER_ADD)
#define SHORT_TERM_START_ADD (SHORT_TERM_END_ADD -
SHORT_TERM_BUFFER_SIZE)
#define SHORT_TERM_HEADER_ADD (SHORT_TERM_START_ADD - (2*sizeof(short)))

// Stores the pointers to the above buffers
#define FRAM_PTR_SHORT_TERM_LOC (SHORT_TERM_HEADER_ADD - sizeof(short))
#define FRAM_PTR_LONG_TERM_LOC (FRAM_PTR_SHORT_TERM_LOC - sizeof(short))

extern AdcMeasurement_t AdcDevices;

static unsigned short *g_PtrShortTermBuffer, *g_PtrLongTermBuffer;
//static unsigned char g_TimeToTxFlag = true;
static unsigned long g_ulSocket;
static unsigned long g_ulSmartConfigFinished;
static unsigned char g_ucHaveIpAddress = false;
static unsigned char g_DeletePolicy = false;

//Delay100ms
// Performs a long delay of 100ms based on MCLK
void Delay100ms()
{
    __delay_cycles(MCLK/100);
    __no_operation();
}

// SystemInit
void SystemInit(void)
{
    // Startup clock system in max. DCO setting ~8MHz
    // This value is closer to 10MHz on untrimmed parts
```

```

CSCTL0_H = 0xA5;
CSCTL1 |= DCOFSEL0 + DCOFSEL1 + DCORSEL; // Set max. DCO setting
CSCTL2 = SELA_3 + SELS_3 + SELM_3;
CSCTL3 = DIVA_0 + DIVS_0 + DIVM_0; // set all dividers

// Turn off temp.
REFCTL0 |= REFTCOFF;
REFCTL0 &= ~REFON;

// Enable switches
// (S1)P4.0 is configured as a switch
// (S2)P4.1 is reserved for the CC3000
P4OUT |= S1_BIT; // Configure pullup resistor
P4DIR &= ~(S1_BIT); // Direction = input
P4REN |= S1_BIT; // Enable pullup resistor

// P4.1 - WLAN enable full DS
P4OUT &= ~BIT1;
P4DIR |= BIT1;
P4SEL1 &= ~BIT1;
P4SEL0 &= ~BIT1;

// Enable LEDs
P3OUT &= ~(BIT6+BIT7+BIT5+BIT4);
P3DIR |= BIT6+BIT7+BIT5+BIT4;
PJOUT &= ~(BIT0+BIT1+BIT2+BIT3);
PJDIR |= BIT0 +BIT1+BIT2+BIT3;

// Terminate Unused GPIOs
// P1.0 - P1.6 is unused
P1OUT &= ~(BIT0 + BIT1 + BIT2 + BIT3 + BIT6 + BIT7);
P1DIR &= ~(BIT0 + BIT1 + BIT2 + BIT3 + BIT6 + BIT7);
P1REN |= (BIT0 + BIT1 + BIT2 + BIT3 + BIT6 + BIT7);

// P1.4 is used as input from NTC voltage divider
// Set it to output low
P1OUT &= ~BIT4;
P1DIR |= BIT4;

```

```
// Configure the SPI CS to be on P1.3
P1OUT |= BIT3;
P1DIR |= BIT3;
P1SEL1 &= ~BIT3;
P1SEL0 &= ~BIT3;

// P2.2 - P2.6 is unused
P2OUT &= ~(BIT2 + BIT4 + BIT5 + BIT6);
P2DIR &= ~(BIT2 + BIT4 + BIT5 + BIT6);
P2REN |= (BIT2 + BIT4 + BIT5 + BIT6);

// Configure SPI IRQ line on P2.3
P2DIR &= (~BIT3);
P2SEL1 &= ~BIT3;
P2SEL0 &= ~BIT3;
// Clear Flag
P2IFG &= ~BIT3;

// Configure detection of the tripping of Magnetic Sensor on P2.2
P2DIR &= (~BIT2);
P2SEL1 &= ~BIT2;
P2SEL0 &= ~BIT2;
// Clear Flag
P2IFG &= ~BIT2;

// Configure UART pins P2.0 & P2.1
//P2SEL1 |= BIT0 + BIT1;
//P2SEL0 &= ~(BIT0 + BIT1);

// P2.7 is used to power the voltage divider for the NTC thermistor
P2OUT &= ~BIT7;
P2DIR |= BIT7;

// P3.0,P3.1 and P3.2 are accelerometer inputs
P3OUT &= ~(BIT0 + BIT1 + BIT2);
P3DIR &= ~(BIT0 + BIT1 + BIT2);
P3REN |= BIT0 + BIT1 + BIT2;

// PJ.0,1,2,3 are used as LEDs
```



```

        // crystal pins for XT1 are unused
        PJOUT &= ~(BIT4+BIT5);
        PJDIR &= ~(BIT4+BIT5);
        PJREN |= BIT4 + BIT5;
    }

// PeriodicTimerInit
// Sets up TimerA0 for 1ms periodic timer intervals to take
// ADC sequence samples.

void PeriodicTimerInit(void)
{
    TA0CCTL0 = CCIE;                // TACCR0 interrupt enabled

    TA0CCR0 = 130;
    TA0CTL = TASSEL_2 + MC_2;       // SMCLK, continuous mode
}

// LedOn
// Sets Led
void LedOn(unsigned char led)
{
    if (led <4)
    {
        PJOUT |= 0x01<<led;
    }
    else
    {
        P3OUT |= 0x01<<led;
    }
}

void LedOff(unsigned char led)
{
    if (led <4)
    {
        PJOUT &= ~(0x01<<led);
    }
    else
    {

```

```

    P3OUT &= ~(0x01<<led);
}
}
void LedToggle(unsigned char led)
{
    if (led <4)
    {
        if(PJOUT & (0x01<<led) )
        {
            PJOUT &= ~(0x01<<led);
        }
        else
        {
            PJOUT |= 0x01<<led;
        }
    }
    else
    {
        if(P3OUT & (0x01<<led) )
        {
            P3OUT &= ~(0x01<<led);
        }
        else
        {
            P3OUT |= 0x01<<led;
        }
    }
}
void SaveAndResetSystem(void)
{

    // Rest CPU by writing to WD with illegal password.
    //WDTCTL = (0xFF00u) + WDT HOLD;
}

// reportAccelXYZ
// Sends the Accelerometer XYZ values to the PC
void reportAccelXYZ(void)
{

```

```

sockaddr tSocketAddr;
unsigned short usTemp;
unsigned char ucTX_Buffer[7];

LedOn(LED_TX);
{
    // Transmit 7 Bytes
    // Byte 1 is header defining the packet type
    ucTX_Buffer[0] = 0x06;
    usTemp = AdcDevices.AccelX;
    ucTX_Buffer[1] = usTemp;
    ucTX_Buffer[2] = usTemp>>8;

    usTemp = AdcDevices.AccelY;
    ucTX_Buffer[3] = usTemp;
    ucTX_Buffer[4] = usTemp>>8;

    usTemp = AdcDevices.AccelZ;
    ucTX_Buffer[5] = usTemp;
    ucTX_Buffer[6] = usTemp>>8;
    // Write to UDP port
    tSocketAddr.sa_family = AF_INET;
    //
    // port and IP address
    //
    tSocketAddr.sa_data[0] = (unsigned char)(ACCELEROMETER_UDP_PORT>>8);
    tSocketAddr.sa_data[1] = (unsigned char)ACCELEROMETER_UDP_PORT;

    memcpy(&tSocketAddr.sa_data[2], g_ThisMulticastAddress, 4);

    sendto(g_ulSocket, ucTX_Buffer, sizeof(ucTX_Buffer), 0, &tSocketAddr,
        sizeof(sockaddr));
}
LedOff(LED_TX);
}

// This function: init_spi

```

```

int init_spi(void)
{
    // Select the SPI lines: MISO/MOSI on P1.6,7 CLK on P2.2
    P1SEL1 |= (BIT6 + BIT7);
    P1SEL0 &= ~(BIT6 + BIT7));

    P2SEL1 |= (BIT2);
    P2SEL0 &= ~BIT2;

    UCB0CTLW0 |= UCSWRST;          // **Put state machine in reset**
    UCB0CTLW0 |= (UCMST+UCSYNC+UCMSB);    // 3-pin, 8-bit SPI master
                                     // Clock polarity high, MSB
    UCB0CTLW0 |= UCSSEL__SMCLK;      // UCSSEL__SMCLK
    UCB0BR0 = 2;                    // /8 of SMCLK = 24Mhz (3mhz)
    UCB0BR1 = 0;                    //

    UCB0CTLW0 &= ~UCSWRST;          // **Initialize USCI state machine**

    return(ESUCCESS);
}

// sendDriverPatch
char *sendDriverPatch(unsigned long *Length)
{
    *Length = 0;
    return NULL;
}

// sendBootLoaderPatch
char *sendBootLoaderPatch(unsigned long *Length)
{
    *Length = 0;
    return NULL;
}

//sendWLFWPatch
char *sendWLFWPatch(unsigned long *Length)
{
    *Length = 0;

```

```

        return NULL;
    }

    // ReadWlanInterruptPin
    long ReadWlanInterruptPin(void)
    {
        return (P2IN & BIT3);
    }

    // Enable waln IrQ pin
    void WlanInterruptEnable()
    {
        __bis_SR_register(GIE);
        P2IES |= BIT3;
        P2IE |= BIT3;
    }

    // Disable waln IrQ pin
    void WlanInterruptDisable()
    {
        P2IE &= ~BIT3;
    }

    // WriteWlanPin
    void WriteWlanPin( unsigned char val )
    {
        if (val)
        {
            P4OUT |= BIT1;
        }
        else
        {
            P4OUT &= ~BIT1;
        }
    }

    //CC3000_UsynchCallback

    void CC3000_UsynchCallback(long IEventType, char * data, unsigned char length)

```

```

{
    if (IEventType == HCI_EVT_WLAN_ASYNC_SIMPLE_CONFIG_DONE)
    {
        g_ulSmartConfigFinished = 1;
    }

    if (IEventType == HCI_EVT_WLAN_UNSOL_CONNECT)
    {
        CC3000ConectionState = CC3000_CONNECTED_STATE;
        // Turn on the LED1
        LedOn(LED_CONNECTION);
#ifdef DHCP_EN
        g_ucHaveIpAddress = true;
#endif
    }

    if (IEventType == HCI_EVT_WLAN_UNSOL_DISCONNECT)
    {
        CC3000ConectionState = CC3000_NOT_CONNECTED_STATE;
        // Turn off the LED1
        LedOff(LED_CONNECTION);

        // Connection to AP unintentionally closed. Reset
        SaveAndResetSystem();
    }

    if(IEventType == HCI_EVT_WLAN_UNSOL_DHCP)
    {
        //
        // Should have an IP address now. Can send data.
        //
        g_ucHaveIpAddress = true;
        //
        // Get our assigned address from the passed data
        //
        g_ThisIpAddress[0] = data[3];
        g_ThisIpAddress[1] = data[2];
        g_ThisIpAddress[2] = data[1];
        g_ThisIpAddress[3] = data[0];
    }
}

```

```

}
}

// initCC3000Driver
// The function initializes a CC3000 device and triggers it to start operation
int initCC3000Driver(void)
{
    //
    //init all layers
    //
    init_spi();

// WLAN On API Implementation
    wlan_init( CC3000_UsynchCallback, sendWLFWPatch, sendDriverPatch,
    sendBootLoaderPatch, ReadWlanInterruptPin, WlanInterruptEnable,
    WlanInterruptDisable, WriteWlanPin);

    // add just over a 1 second delay to ensure that the slow clock is stable
    __delay_cycles(2410000);

    CC3000ConectionState = CC3000_NOT_CONNECTED_STATE;
    // Trigger a WLAN device. Set true because there are patches available
    wlan_start(false);

    // Mask out all non-required events from CC3000
#ifdef DHCP_EN
    //
    // Setup DHCP. Although this should be unnecessary as DHCP is the default
    //
    unsigned char pucSubnetMask[4], pucIP_Addr[4], pucIP_DefaultGWAddr[4],
        pucDNS[4];
    memset(pucSubnetMask, 0, sizeof(pucSubnetMask));
    memset(pucIP_Addr, 0, sizeof(pucIP_Addr));
    memset(pucIP_DefaultGWAddr, 0, sizeof(pucIP_DefaultGWAddr));
    memset(pucDNS, 0, sizeof(pucDNS));

    netapp_dhcp((unsigned long *) pucIP_Addr, (unsigned long *) pucSubnetMask,
        (unsigned long *) pucIP_DefaultGWAddr, (unsigned long *) pucDNS);
    wlan_set_event_mask(HCI_EVNT_WLAN_KEEPALIVE |

```

```

        HCI_EVNT_WLAN_UNSOL_INIT |
        HCI_EVNT_WLAN_ASYNC_PING_REPORT);
#else

// Setup DHCP
    unsigned char pucSubnetMask[4], pucIP_Addr[4], pucIP_DefaultGWAddr[4],
                    pucDNS[4];

    memset(pucSubnetMask, 0xFF, sizeof(pucSubnetMask));
    memcpy(pucIP_Addr, g_ThisIpAddress, sizeof(g_ThisIpAddress));

    pucIP_DefaultGWAddr[0] = g_ThisIpAddress[0];
    pucIP_DefaultGWAddr[1] = g_ThisIpAddress[1];
    pucIP_DefaultGWAddr[2] = g_ThisIpAddress[2];
    pucIP_DefaultGWAddr[3] = 1;

    memset(pucDNS, 0, sizeof(pucDNS));
    netapp_dhcp((unsigned long *) pucIP_Addr, (unsigned long *) pucSubnetMask,
        (unsigned long *) pucIP_DefaultGWAddr, (unsigned long *) pucDNS);
    wlan_set_event_mask(HCI_EVNT_WLAN_KEEPALIVE |
        HCI_EVNT_WLAN_UNSOL_INIT |
        HCI_EVNT_WLAN_UNSOL_DHCP |
        HCI_EVNT_WLAN_ASYNC_PING_REPORT);
#endif
    return(0);
}

//FramDataLogInit
void FramDataLogInit(void)
{
    // Get the Ptrs to Short and long Term Buffers
    g_PtrShortTermBuffer = (unsigned short*)FRAM_PTR_SHORT_TERM_LOC;
    g_PtrLongTermBuffer = (unsigned short*)FRAM_PTR_LONG_TERM_LOC;

    // Check if the pointers are valid. If not then we are probably running for
    // the first time.
    if( (*g_PtrShortTermBuffer > SHORT_TERM_END_ADD) ||
        (*g_PtrShortTermBuffer < SHORT_TERM_START_ADD) ||
        (*g_PtrLongTermBuffer > LONG_TERM_END_ADD) ||
        (*g_PtrLongTermBuffer < LONG_TERM_START_ADD) )

```



```

{
    *g_PtrShortTermBuffer = SHORT_TERM_START_ADD;
    *g_PtrLongTermBuffer = LONG_TERM_START_ADD;
}
}

// FramDataLog
void FramDataLog(unsigned char Temperature)
{
    static unsigned char uc1SecondTicks = 0;
    unsigned char ucOldestShortTermData = 0;

    {
        // First fetch the oldest data that will be over written
        ucOldestShortTermData = (*(unsigned char *)(*g_PtrShortTermBuffer));
        // then Log Data in short Term buffer
        (*(unsigned char *)(*g_PtrShortTermBuffer)) = Temperature;
        // Move Pointer to next available spot
        (*g_PtrShortTermBuffer)++;
        if(*g_PtrShortTermBuffer >= SHORT_TERM_END_ADD)
        {
            (*g_PtrShortTermBuffer) = SHORT_TERM_START_ADD;
        }

        uc1SecondTicks++;
        // 1/minute
        if(uc1SecondTicks >= 60)
        {
            // Log Data in Long Term buffer
            (*(unsigned char *)(*g_PtrLongTermBuffer)) = ucOldestShortTermData;

            // Move Pointer to next available spot
            (*g_PtrLongTermBuffer)++;
            if(*g_PtrLongTermBuffer >= LONG_TERM_END_ADD)
            {
                (*g_PtrLongTermBuffer) = LONG_TERM_START_ADD;
            }
            uc1SecondTicks = 0;
        }
    }
}

```

```

}
}
// StartSmartConfig
// The function triggers a smart configuration process on CC3000.
// it exists upon completion of the process
void StartSmartConfig(void)
{
    g_ulSmartConfigFinished = 0;
    // Reset all the previous configuration
    wlan_ioctl_set_connection_policy(0,0,0);
    // Trigger the Smart Config process
    // Start blinking LED2 during Smart Configuration process
    LedOff(LED_SIMPLE_CONFIG);

    wlan_first_time_config_set_prefix(aucCC3000_prefix);
    //
    // Start the Smart Config process
    //
    wlan_first_time_config_start();
    //
    // Wait for simple config finished
    // Set a 1 minute timeout to be safe
    //
    unsigned char ucTimeOut = 60;
    while (g_ulSmartConfigFinished == 0 &&
           ucTimeOut)
    {
        __delay_cycles(6000000);
        LedOn(LED_SIMPLE_CONFIG);
        __delay_cycles(6000000);
        LedOff(LED_SIMPLE_CONFIG);
        ucTimeOut--;
    }

    LedOff(LED_SIMPLE_CONFIG);
    // Configure to connect automatically to the AP retrieved in the
    // simple config process
    wlan_ioctl_set_connection_policy(0, 0, 1);
    // reset the CC3000

```

```

wlan_stop();
Delay100ms();
wlan_start(false);
// Mask out all non-required events
#ifdef DHCP_EN
    wlan_set_event_mask(HCI_EVNT_WLAN_KEEPALIVE |
                        HCI_EVNT_WLAN_UNSOL_INIT |
                        HCI_EVNT_WLAN_ASYNC_PING_REPORT);
#else
    wlan_set_event_mask(HCI_EVNT_WLAN_KEEPALIVE |
                        HCI_EVNT_WLAN_UNSOL_INIT |
                        HCI_EVNT_WLAN_UNSOL_DHCP |
                        HCI_EVNT_WLAN_ASYNC_PING_REPORT);
#endif
}

// CC3000EnableAndOpenPort
// This function initializes the CC3000 and establishes
// a connection to an AP, then opens a port. The status of
CC3000Status_t CC3000EnableAndOpenPort( void )
{
    CC3000Status_t Status = CC3000_NO_AP_ERR;
    unsigned char i;
    //
    // Start the CC3000
    //
    initCC3000Driver();
    //
    // If button is pressed then the user wants to delete the policy
    // so they can connect to a different AP most likely.
    //
    if(g_DeletePolicy == true)
    {
        //
        // Reset all the previous configuration
        //
        wlan_ioctl_set_connection_policy(0,0,0);
        wlan_ioctl_del_profile(0);
        wlan_ioctl_del_profile(1);
    }
}

```

```

wlan_ioctl_del_profile(2);
//
// reset the CC3000
//
wlan_stop();
initCC3000Driver();

g_DeletePolicy = false;
}
else
{
//
// Configure to connect automatically to the AP retrieved in the
// simple config process
//
wlan_ioctl_set_connection_policy(0, 0, 0);
}

#ifdef SMART_CONFIG_EN
//
// Wait 12 seconds to see if we connect
//
for(i = 0; (i < 60) &&
    (CC3000ConectionState == CC3000_NOT_CONNECTED_STATE); i++)
{
    Delay100ms();
    LedOn(LED_TRYING_CONNECT);
    Delay100ms();
    LedOff(LED_TRYING_CONNECT);
}
#endif
//
// test connection status
// if we didn't get a connection to an AP then we can try the
// smart first time config which listens for the secret.
if(CC3000ConectionState == CC3000_NOT_CONNECTED_STATE)
{
//
// Try Connect to the AP using smart config

```

```
//
#ifdef SMART_CONFIG_EN
#if (defined(SEcurity_WEP) || defined(SEcurity_WPA) || defined(SEcurity_WPA2))
#error "Error: Smart Config cannot be built with wlan_connect method. Please Choose only one
method"
#endif
    StartSmartConfig();
#else
    // or, direct connect
#if defined(SEcurity_WEP)
    wlan_connect(1, "DD-WRT", 0x06, NULL, "password", sizeof("password"));
#elif defined(SEcurity_WPA)
    wlan_connect(2, "DD-WRT", 0x06, NULL, "password", sizeof("password"));
#elif defined(SEcurity_WPA2)
    wlan_connect(3, "DD-WRT", 0x06, NULL, "password", sizeof("password"));
#else // no security
    wlan_connect(0, "DD-WRT", 0x06, NULL, NULL, 0);
#endif
#endif
//
// Wait 3 seconds to see if we connect this time
//
for(i = 0; (i < 15) &&
    (CC3000ConectionState == CC3000_NOT_CONNECTED_STATE); i++)
{
    Delay100ms();
    LedOn(LED_TRYING_CONNECT);
    Delay100ms();
    LedOff(LED_TRYING_CONNECT);
}
}
// Now test we made a connection to the AP
//
if(CC3000ConectionState == CC3000_CONNECTED_STATE)
{
    // wait for an address
#ifdef DHCP_EN
    // wait for a DHCP addr (60 * 0.2s = 12seconds max wait)
    for(i = 0; (i < 60) &&
```

```

(g_ucHaveIpAddress == false); i++)
{
    Delay100ms();
    LedOn(LED_TRYING_CONNECT);
    Delay100ms();
    LedOff(LED_TRYING_CONNECT);
}
#endif

if( g_ucHaveIpAddress == true)
{
    //
    // If interested you could get the SSID and ip address now
    // using netapp_ipconfig
    /*static tNetappIpconfigRetArgs ipconfig;
    netapp_ipconfig( &ipconfig);*/
    //
    // Also, If DHCP is used then we also need to verify that we have a valid
    // address. If so then we can now Open UDP socket.
    //
    g_ulSocket = socket(AF_INET, SOCK_DGRAM, IPPROTO_UDP);
    if((signed long)g_ulSocket < 0)
    {
        Status = CC3000_NO_PORTS_CLOSED_ERR;
    }
    else
    {
        Status = CC3000_CONNECTED_PORTS_OPEN;
    }
}
else
{
    Status = CC3000_CONNECTED_NO_ADDR_ERR;
}
}
else
{
    // No connection to AP. return error
    Status = CC3000_NO_AP_TIMEOUT_ERR;
}

```

```

}

// Now check the connection status before we leave. If we were not succesful
// we should just power down the AP to conserve power unless we made the
// connection to the AP but do not have a valid Address yet. If this is
// the case we don't power down as we want to keep the CC3000 alive long
// enough to get the DHCP address.
if( Status != CC3000_CONNECTED_PORTS_OPEN)
{
    //
    // We were unsuccessful. Power down CC3000
    //
    WriteWlanPin( WLAN_DISABLE );
    CC3000ConectionState = CC3000_NOT_CONNECTED_STATE;
    LedOff(LED_CONNECTION);
}
return(Status);
}

void main(void)
{
    static unsigned char ucS1Pressed = false;
    //unsigned char i;
    *g_PtrShortTermBuffer = *g_PtrLongTermBuffer = 0;
    g_ulSocket = 0;
    g_ulSmartConfigFinished = 0;
    g_ucHaveIpAddress = false;
    g_DeletePolicy = false;
    //
    // Stop WDT
    //
#ifdef __CCS__
        WDTCTL = WDTPW + WDTHOLD;
#elif __IAR_SYSTEMS_ICC__
        asm("mov.w  #0x5a80,&0x015C; ");
#endif
    //
    // Board Initialization start
    //

```

```

SystemInit();
AdclInit();
//init_spi2();
//
// If Button is pressed on power up then flag the CC3000
// processes to delete the policy the first time through.
//
if(S1_PRESSED)
{
    g_DeletePolicy = true;
}
// Enable Global interrupts
__enable_interrupt();
PeriodicTimerInit();

unsigned char state = IDLE_STATE;
CC3000Status_t CC3000Status;
LedOn(LED_READY);

CC3000Status = CC3000EnableAndOpenPort(); // Yhteys päälle heti
Delay100ms();
//Delay100ms();
//Delay100ms();
// Delay100ms();

while(1)
{
    // Variable initialization
    switch(state)
    {

    case SEND_ACCEL_XYZ_START_STATE:
        // When the button is first pressed we start here and enable the CC3000
        // open the port and send the first pkt

        // CC3000Status = CC3000EnableAndOpenPort();
        // Delay100ms();
        if( CC3000_CONNECTED_PORTS_OPEN == CC3000Status )
        {

```



```

    reportAccelXyz();
    state = IDLE_STATE;
}
else
{
    state = IDLE_STATE;
}
break;
case SEND_ACCEL_XYZ_STATE:

    // Port is already open so we can just continue to send data
    if( CC3000_CONNECTED_PORTS_OPEN == CC3000Status )
    {

        reportAccelXyz();

        state = IDLE_STATE;
    }
    else
    {
        state = IDLE_STATE;
    }
    break;
case SEND_ACCEL_XYZ_STOP_STATE:
    // Jatkuva yhteys -> ei taukoja
    // WriteWlanPin(WLAN_DISABLE);
    //g_ucHaveIpAddress = false;
    //CC3000ConectionState = CC3000_NOT_CONNECTED_STATE;
    // LedOff(LED_CONNECTION);
    state = IDLE_STATE;
    break;
case GET_MESSAGES_FROM_HOST_STATE:
    // This application does not receive
    state = IDLE_STATE;
    break;
case IDLE_STATE:
default:
    if( (CC3000_CONNECTED_STATE == CC3000ConectionState) ||

```

```

(CC3000_CONNECTED_PORTS_OPEN_STATE == CC3000ConectionState) )
{
    hci_unsolicited_event_handler();
}

//
// Check the state of S1. S1 is used to
// control the stream of Accelerometer data
// to the PC. While the Button is asserted
// The Acceleromter data is streamed.
if(S1_PRESSED)
{
    // See if the sswitch was just pressed.
    // If so, then we need to first enable the CC3000
    // and send the first packet.

    if(ucS1Pressed == false)
    {

        ucS1Pressed = true;
        state = SEND_ACCEL_XYZ_START_STATE;
    }
    else
    {
        // Continue to send. CC3000 is already powered up

        state = SEND_ACCEL_XYZ_STATE;
    }
}
else
{
    // See if the switch was just released
    if(ucS1Pressed == true)
    {
        ucS1Pressed = false;
        // Done sending. Turn off the CC3000 to conserve power.
        state = SEND_ACCEL_XYZ_STOP_STATE;
    }
    else

```

```

    {
        state = IDLE_STATE;
    }
}
break;
}
}
}

// Interrupt Service Routines
// Timer A0 ISR for MODE2
#pragma vector = TIMER0_A0_VECTOR
__interrupt void Timer_A (void)
{

    TA0CCR0 += 130;
    AdcUpdate();

}

```

MSP430-PÄÄOHJELMAN AD-MUUNNOSOHJELMA

```
// Author: Ville Pyykölä
```

```
#include "msp430fr5739.h"
```

```
#include "adc.h"
```

```
// 8-bit ADC conversion result array
```

```
volatile unsigned short ADC_Result[SIZE_OF_SEQUENCE];
```

```
AdcMeasurement_t AdcDevices;
```

```
unsigned char TXData;
```

```
char mtype;
```

```
volatile unsigned int XValue = 0;
```

```
volatile unsigned int YValue = 0;
```

```
volatile unsigned int ZValue = 0;
```

```
void AdcInit (void)
```

```
{
```

```
//
```

```
// Accelerometer
```

```
// Configure ADC pins. Enable A/D channel inputs
```

```
//
```

```
ACC_PORT_SEL0 |= ACC_X_PIN + ACC_Y_PIN + ACC_Z_PIN;
```

```
ACC_PORT_SEL1 |= ACC_X_PIN + ACC_Y_PIN + ACC_Z_PIN;
```

```
ACC_PORT_DIR &= ~(ACC_X_PIN + ACC_Y_PIN + ACC_Z_PIN);
```

```
// Enable ACC_POWER. Actually enables thermistor power too.
```

```
ACC_PWR_PORT_DIR |= ACC_PWR_PIN;
```

```
ACC_PWR_PORT_OUT |= ACC_PWR_PIN;
```

```
// Configure ADC
```

```
//Enable A/D channel inputs
```

```
THERM_PORT_SEL0 |= THERM_IN_PIN;
```

```
THERM_PORT_SEL1 |= THERM_IN_PIN;
```

```
THERM_PORT_DIR &= ~(THERM_IN_PIN);
```

```
ADC10CTL0 &= ~ADC10ENC; // Ensure ENC is clear
```

```
ADC10CTL0 = ADC10ON + ADC10SHT_2 + ADC10MSC;
```

```

ADC10CTL1 = ADC10SHS_0 + ADC10SHP + ADC10CONSEQ_1 + ADC10SSEL_0;
ADC10CTL2 = ADC10RES;
ADC10MCTL0 = ADC10SREF_0 + ADC10INCH_14;

```

```

// Configure DMA0 (ADC10IFG trigger)
// ADC10IFG trigger
DMACTL0 = DMA0TSEL__ADC10IFG;
__data16_write_addr((unsigned short) &DMA0SA,(unsigned long) &ADC10MEM0);
// Source single address
__data16_write_addr((unsigned short) &DMA0DA,(unsigned long) &ADC_Result[0]);
// Destination array address
// 15 conversions
DMA0SZ = SIZE_OF_SEQUENCE;
DMA0CTL = DMADT_4 + DMADSTINCR_3 + DMAEN + DMAIE;
}

```

```

// TakeADCMeas
// Take ADC measurement

```

```

void TakeAdcMeas(void)
{
//while (ADC10CTL1 & BUSY);

ADC10CTL0 |= ADC10ENC | ADC10SC ;
P1OUT ^= BIT0;
// __bis_SR_register(GIE);
// __no_operation();           // For debug only
}

```

```

// AdcUpdate
// Takes a Temperature and Accel XYZ Measurement and stores them.
void AdcUpdate(void)
{
TakeAdcMeas();
// Update the Temperature

```

```

AdcDevices.AccelX = ADC_Result[ACC_X_IDX];

```